

BAB VI

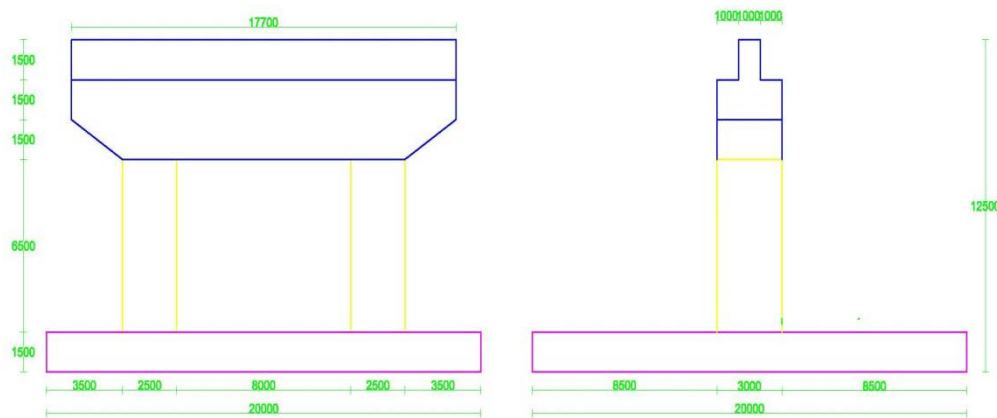
KESIMPULAN DAN SARAN

6.1 Kesimpulan

Dari perencanaan struktur bawah jembatan layang simpang simpang Bandara-Tanjung Api-Api didapat hasil sebagai berikut:

1. Mutu beton untuk perancangan struktur bawah ini menggunakan mutu 35 MPa atau setara dengan K-422 dan mutu baja yang dipakai menggunakan mutu 410 Mpa.
2. Demensi yang didapat padat perancangan struktur bawah ini adalah:
 - a. Kepala pilar bagian atas berdimensi 1000 x 1500 mm dengan panjang bentang 17700 mm.
 - b. Kepala pilar bagian bawah berdimensi 3000 x 3000 mm dengan panjang bentang 17700 mm.
 - c. Pilar mempunyai dimensi 3000 x 2500 mm dengan tinggi pilar 6500 mm.
 - d. *Pile cap* mempunyai dimensi 20000 x 20000 mm dengan tebal 1500 mm.
 - e. Fondasi tiang bor mempunyai dimensi diameter 1000 mm dengan panjang tiang 20000 mm dan jumlah tiang sebanyak 25 buah.

Gambar demensi untuk struktur bawah terdapat pada Gambar 6.1



Gambar 6.1. Dimensi Struktur Bawah

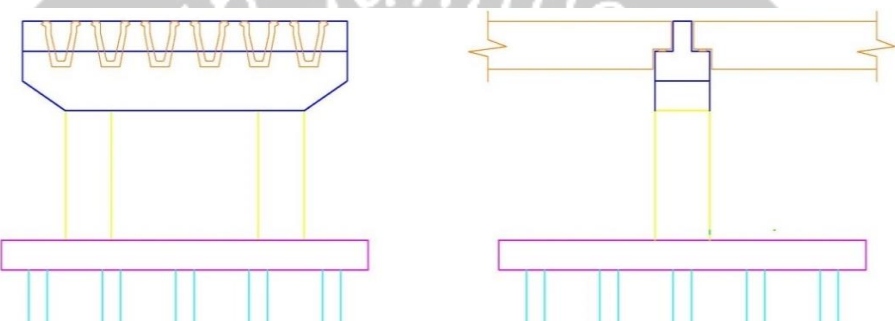
3. Penulangan kepala pilar bagian atas.
 - a. Tulangan tarik menggunakan D25 jumlah tulangan 12 buah (12D25).
 - b. Tulangan tekan menggunakan D25 jumlah tulangan 6 buah (6D25).
 - c. Tulangan sengkang menggunakan D22 jumlah 6 tulangan buah dengan jarak antar tulangan 75 mm (6D22-75).
4. Penulangan kepala pilar bagian bawah.
 - a. Tulangan tarik menggunakan D32 jumlah tulangan 40 buah (40D32).
 - b. Tulangan tekan menggunakan D32 jumlah tulangan 20 buah (20D32).
 - c. Tulangan sengkang menggunakan D22 jumlah 10 tulangan buah dengan jarak antar tulangan 75 mm (10D22-75).
5. Penulangan pilar.
 - a. Tulangan utama menggunakan D32 jumlah tulangan 94 buah (94D32).
 - b. Tulangan sengkang menggunakan D19 jumlah tulangan 10 dengan jarak antar tulangan 150 mm (10D19-150).
6. Penulangan *pile cap*.
 - a. Tulangan pokok menggunakan D25 jumlah tulangan 2 buah dengan jarak antar tulangan 50 mm (2D25-50).

- b. Tulangan susut menggunakan D25 dengan jarak antar tulangan 50 mm (D25-50).
 - c. Tulangan geser menggunakan D19 dengan jarak antar tulangan 200 mm (D19-200).
7. Penulangan *bored pile*.
- a. Tulangan utama menggunakan D19 jumlah tulangan 28 buah (28D19).
 - b. Tulangan sengkang menggunakan spiral D16 jumlah tulangan 2 dengan jarak antar tulangan 125 mm (2D16-125).
- ## 6.2 Saran
- Dalam merancang struktur bawah jembatan layang penulis menemukan beberapa persoalan, maka dari hal tersebut saran yang bisa diberikan adalah:
- 1. Perlu diperhatikan dalam menentukan dimensi yang akan digunakan untuk perancangan terlebih dimensi kepala pilar yang harus disesuaikan dengan bentuk struktur atas.
 - 2. Lebih teliti dalam memasukkan data beban kedalam perhitungan kombinasi yang ada.

BAB V

PERANCANGAN STRUKTUR BAWAH JEMBATAN

5.1 Data-data Jembatan Layang



Gambar 5.1 Tampak Depan dan Samping Struktur Jembatan Layang

Sasikirana (2017)

1. Struktur Atas : *Precast Concrete U (PCU) Girder mutu beton*

K-700 (Sasikirana, 2017)

Tabel 5.1 Data Struktur Atas

| Data | Simbol | Dimensi | Satuan | Keterangan |
|-------------------------------|--------|---------|--------|--------------------|
| Panjang bentang PCU girder | L | 50,8 | m | (Sasikirana, 2017) |
| Lebar jalur lalu lintas | b_L | 14 | m | (Sasikirana, 2017) |
| Jumlah girder | n | 6 | buah | (Sasikirana, 2017) |
| Lebar median | b_m | 2 | m | (Sasikirana, 2017) |
| Lebar trotoar | b_t | 0,2 | m | (Sasikirana, 2017) |
| Tebal lapisan aspal + overlay | h_o | 0,1 | m | (Sasikirana, 2017) |

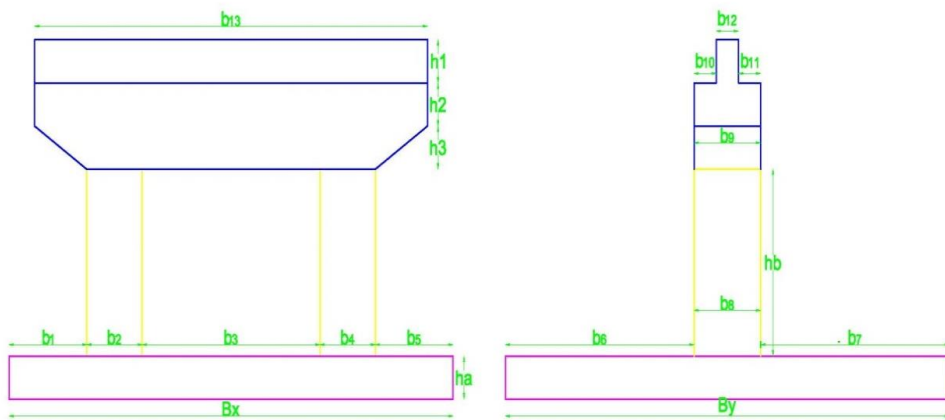
Lanjutan Tabel 5.1

| Data | Simbol | Dimensi | Satuan | Keterangan |
|------------------------------------|--------|---------|--------|--------------------|
| Tebal genangan air hujan | t_h | 0,05 | m | (Sasikirana, 2017) |
| Tinggi bidang samping jembatan | h_A | 3,5 | m | (Sasikirana, 2017) |
| Lebar total jembatan | b | 17,7 | m | (Sasikirana, 2017) |
| Tinggi pelat lantai jembatan | h_o | 0,3 | m | (Sasikirana, 2017) |
| Tinggi <i>box girder</i> prategang | h_B | 2,3 | m | (Sasikirana, 2017) |
| Jarak antar balok <i>girder</i> | s | 2,7 | m | (Sasikirana, 2017) |
| Luas <i>PCU girder</i> | A | 1,7 | m^2 | (Sasikirana, 2017) |

2. Struktur Bawah : Mutu beton, f'_c = 35 MPa (kuat tekan beton)

Mutu baja, f_y = 400 MPa (tegangan leleh baja)

Berat beton, W_c = 24 kN/m³



Gambar 5.2 Dimensi Struktur Bawah

Keterangan :

| | |
|-----------------------|---------------------------|
| $Bx = 20 \text{ m}$ | $b_4 = 2,5 \text{ m}$ |
| $By = 20 \text{ m}$ | $b_5 = 3,5 \text{ m}$ |
| $h_a = 1,5 \text{ m}$ | $b_6 = 8,5 \text{ m}$ |
| $h_b = 6,5 \text{ m}$ | $b_7 = 8,5 \text{ m}$ |
| $h_1 = 1,5 \text{ m}$ | $b_8 = 3 \text{ m}$ |
| $h_2 = 1,5 \text{ m}$ | $b_9 = 3 \text{ m}$ |
| $h_3 = 1,5 \text{ m}$ | $b_{10} = 1 \text{ m}$ |
| $b_1 = 3,5 \text{ m}$ | $b_{11} = 1 \text{ m}$ |
| $b_2 = 2,5 \text{ m}$ | $b_{12} = 1 \text{ m}$ |
| $b_3 = 8 \text{ m}$ | $b_{13} = 17,7 \text{ m}$ |

Dimensi yang dipakai merupakan hasil dari analisis struktur dengan *trial and error* sesuai dengan bagan alir perancangan. Bagian kepala pier merupakan bagian yang dipakai sebagai acuan dari dimensi struktur bawah dengan lebar menyesuaikan dengan lebar struktur atas.

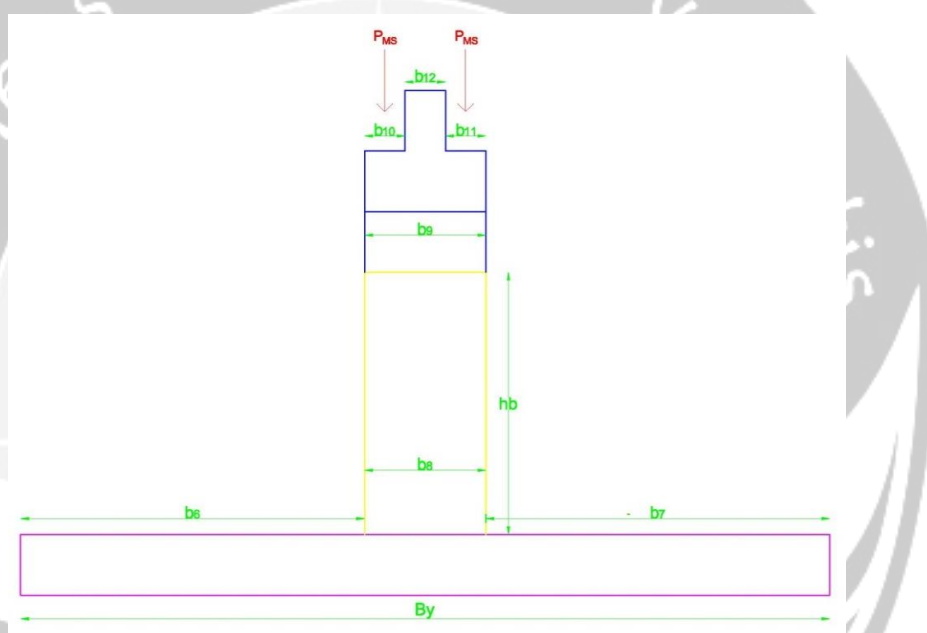
5.2 Pembebanan pada struktur bawah

Beban yang bekerja pada perancangan struktur bawah ini adalah beban yang terjadi pada struktur pada struktur bawah itu sendiri maupun dengan beban yang terjadi pada struktur atas.

5.2.1 Beban Sendiri atau Beban Mati (MS)

Beban mati merupakan beban yang berasal dari berat sendiri jembatan dan terbagi menjadi dua beban berat yaitu beban berat struktur atas dan beban berat struktur bawah.

1. Beban mati struktur atas



Gambar 5.3 Pembebanan Struktur Atas

Berat sendiri untuk 1 *PCU girder*,

$$Q_{MS} = 69,4 \text{ kN/m}$$

Total panjang bentang *PCU girder*,

$$L = 50,8 \text{ m}$$

Jumlah *PCU girder*,

$$n = 6,00 \text{ buah}$$

Beban mati akibat struktur atas,

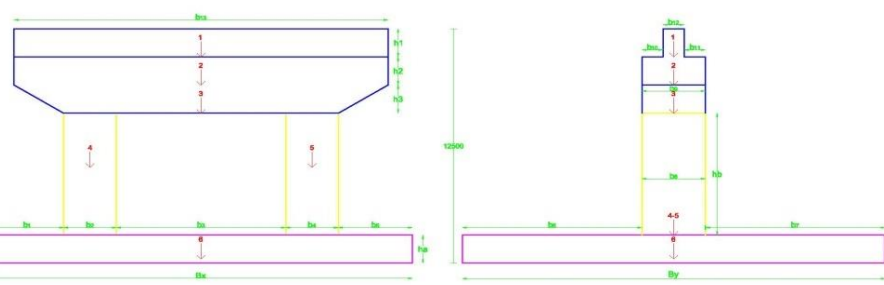
$$P_{MS \text{ atas}} = 21162 \text{ kN}$$

Letak titik berat struktur atas terhadap fondasi,

$$z_{sa} = h_a + h_b + h_3 + h_2 + h_1 - (h_B/2) = 11,4 \text{ m}$$

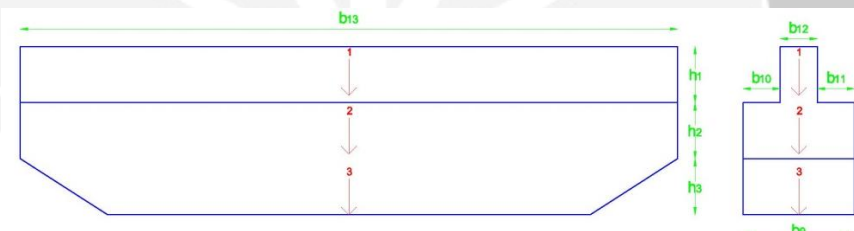
2. Beban mati struktur bawah

Beban mati struktur bawah dihitung menjadi 3 bagian beban berat yaitu kepala pilar, pilar, dan pile cap



Gambar 5.4 Sketsa Beban Berat Struktur bawah

Berat kepala pilar



Gambar 5.5 Sketsa Kepala Pilar

Tabel 5.2 Perhitungan Berat Kepala Pilar

| No | A | l | V | W _c | Berat | Lengan terhadap sisi bawah | Momen | |
|----|----------------|---|----------------|-------------------|-------|---|-------|---------|
| | m ² | m | m ³ | kN/m ³ | kN | y _{kp} | (m) | (kNm) |
| 1 | 26,6 | 1 | 26,6 | 24 | 637 | h ₃ +h ₂ +(h ₁ /2) | 3,75 | 2389,5 |
| 2 | 26,6 | 3 | 79,7 | 24 | 1912 | h ₃ +(h ₂ /2) | 2,25 | 4301,1 |
| 3 | 23 | 3 | 69,1 | 24 | 1658 | (h ₃ /2) | 0,75 | 1243,35 |

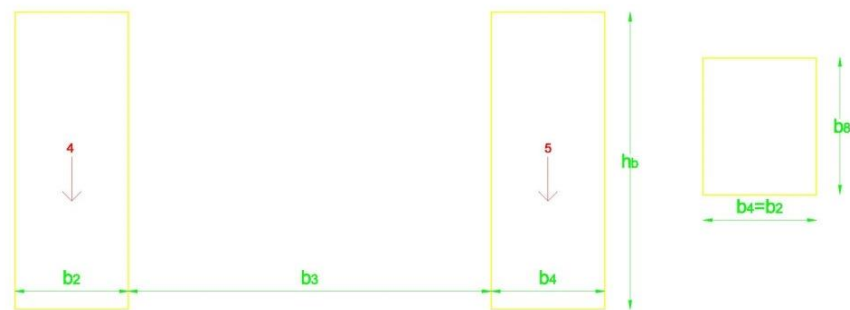
$$W_{kp} = 4207$$

$$M_{kp} = 6690,6$$

Letak titik berat terhadap sisi bawah, $y_{kp} = M_{kp} / W_{kp} = 1,59 \text{ m}$

Letak titik berat terhadap dasar fondasi, $Z_{kp} = y_{kp} + h_a + h_b = 9,59 \text{ m}$

Berat pilar



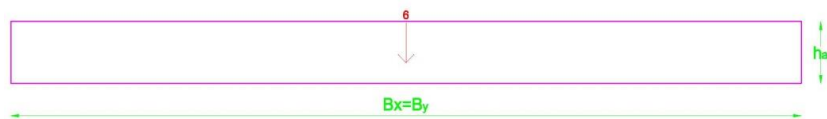
Gambar 5.6 Sketsa Pilar

Tabel 5.3 Perhitungan Berat Pilar

| No | <i>A</i> | <i>l</i> | <i>V</i> | <i>W_c</i> | Berat | Lengan terhadap sisi bawah | Momen | |
|---------|--------------|----------|--------------|------------------------|---------|----------------------------|-------|--------|
| | m^2 | m | m^3 | kN/m^3 | kN | y_p | (m) | (kNm) |
| 4 | 7,5 | 6,5 | 48,8 | 24 | 1170 | $h_b/2$ | 3,25 | 3802,5 |
| 5 | 7,5 | 6,5 | 48,8 | 24 | 1170 | $h_b/2$ | 3,25 | 3802,5 |
| $W_p =$ | | | | 2340 | $M_p =$ | | | |
| $W_p =$ | | | | 2340 | $M_p =$ | | | |

Letak titik berat terhadap dasar fondasi, $Z_{kp} = h_a + h_{b/2} = 4,75 \text{ m}$

Berat pile cap



Gambar 5.7 Sketsa Pile Cap

Luas permukaan , $A = Bx \times By = 400 \text{ m}^2$

Volume, $V = A \times h_a = 600 \text{ m}^3$

Berat, $W_{pc} = V \times W_c = 14400 \text{ kN}$

Lengan terhadap sisi bawah , $y_{pc} = h_a / 2 = 0,75 \text{ m}$

Momen, $M_{pc} = 10800 \text{ kNm}$

Tabel 5.4 Rekap Berat Sendiri Struktur bawah

| No | Bagian | Berat (kN) |
|----|--------------|------------|
| 1 | Kepala Pilar | 4206,6 |
| 2 | Pilar | 2340 |
| 3 | Pile Cap | 14400 |

$$P_{MS \text{ bawah}} = 20946,6 \text{ kN}$$

Beban Mati pada fondasi, $P_{MS} = P_{MS \text{ bawah}} + P_{MS \text{ atas}} = 42108,9 \text{ kN}$

5.2.2 Beban Mati Tambahan (MA)

Beban mati tambahan merupakan beban mati yang mempunyai berat seluruh bahan dan membentuk suatu beban pada jembatan yang merupakan elemen nonstruktural dan mungkin besarnya berubah selama umur jembatan

Jenis beban mati tambahan diantara lain ialah :

1. Penambahan lapisan aspal (overlay) dikemudian hari.
2. Genangan air hujan jika sistem drainase tidak bekerja dengan baik.
3. Pemasangan tiang listrik dan instalasi ME

Tabel 5.5 Beban Mati Tambahan

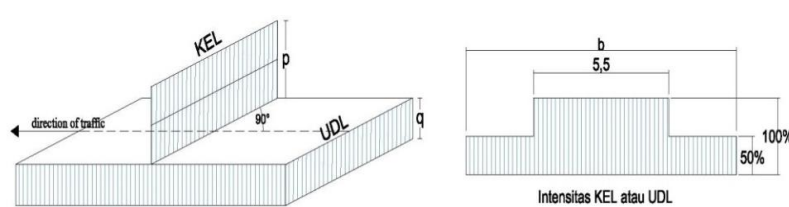
| No | Jenis Beban Mati Tambahan | Lebar | Panjang | Tebal | W | Beban |
|----|---------------------------|-------|---------|-------|-------------------|--------|
| | | m | m | m | kN/m ³ | kN |
| 1 | Lapisan Aspal | 14 | 52 | 0,1 | 22 | 1601,6 |
| 2 | Air Hujan | 14 | 52 | 0,05 | 9,8 | 356,72 |

Sehingga di dapat beban mati tambahan :

$$P_{MA} = 357 \text{ kN}$$

5.2.3 Beban Lajur "D" (TD)

Beban jalur "D" sendiri mempunyai beban terbagi merata atau *Uniformly Distributed Load* (UDL) dan beban garis atau *Knife Edge Load* (KEL).

**Gambar 5.8 Beban Jalur "D"**

UDL mempunyai intensitas q (kPa) yang besarnya tergantung dari panjang total yang dibebani dengan dihitung dengan rumus :

$$q = 9,0 \text{ kPa}, \quad \text{untuk } L < 30 \text{ m}$$

$$q = 9 \times (0,5 + 15 / L) \text{ kPa}, \quad \text{untuk } L > 30 \text{ m}$$

Untuk panjang bentang, $L = 52 \text{ m}$

$$q = 7 \text{ kPa}$$

KEL mempunyai intensitas $p = 49 \text{ kN/m}$

Faktor beban dinamis (*dynamic load allowance*) untuk KEL :

$$DLA = 0,4 \quad \text{untuk } L \leq 50 \text{ m}$$

$$DLA = 0,4 - 0,0025 \times (L - 50) \quad \text{untuk } 50 < L < 90 \text{ m}$$

$$DLA = 0,3 \quad \text{untuk } L \geq 90 \text{ m}$$

Untuk panjang bentang, $L = 52 \text{ m}$

$$DLA = 0,395$$

Lebar jalur : $b_L = 14 \text{ m}$,

$$\begin{aligned} P_{TD} &= [(q \times L \times (5,5+b)/2) + (p \times DLA \times (5,5+b)/2)] \\ &= 4343 \text{ kN} \end{aligned}$$

5.2.4 Beban Pedestrian (TP)

Jembatan layang dirancang memikul beban hidup merata pada trotoar yang besarnya tergantung dengan besarnya luas bidang pada trotoar tersebut.

Beban hidup merata pada trotoar :

$$\text{Untuk } A \leq 10 \text{ m}^2 \quad q = 5 \text{ kPa}$$

$$\text{Untuk } 10 \text{ m}^2 < A < 100 \text{ m}^2 \quad q = 5 - 0,033 \times (A - 10) \text{ kPa}$$

$$\text{Untuk } A \geq 100 \text{ m}^2 \quad q = 2 \text{ kPa}$$

Lebar Trotoar, $b_t = 0,2 \text{ m}$

Panjang bentang, $L = 52 \text{ m}$

Luas bidang trotoar, $A = b_t \times L = 10,4 \text{ m}^2$

Intensitas beban pada trotoar :

$$q = 5 - 0,033 \times (A - 10) = 4,99 \text{ kPa}$$

$$\text{Beban pedestrian.} \quad Q_{TP} = q \times b_t = 0,997 \text{ kN/m}$$

$$\text{Pembebatan untuk pedestrian, } P_{TP} = Q_{TP} \times L = 51,9 \text{ kN}$$

5.2.5 Gaya Rem (TB)

Beban gaya rem akan diperhitungkan sebagai gaya dalam arah memanjang dan dianggap bekerja pada permukaan lantai jembatan. Besarnya gaya rem tergantung dari total panjang bentang jembatan dengan ketentuan sebagai berikut :

$$\text{Gaya Rem, } T_{TBI} = 250 \text{ kN} \quad \text{untuk } L < 80m$$

$$\text{Gaya Rem, } T_{TBI} = 250 + 2,5 \times (L - 80) \text{ untuk } 80m < L < 180m$$

$$\text{Gaya Rem, } T_{TBI} = 500 \text{ kN} \quad \text{untuk } L > 180m$$

$$\text{Panjang bentang, } L = 52 \text{ m}$$

$$\text{Besar gaya rem, } T_{TBI} = 250 \text{ kN}$$

$$\text{Jumlah jalur, } n = 2$$

$$\begin{aligned} \text{Beban gaya rem, } T_{TB} &= T_{TBI} \times n \\ &= 500 \text{ kN} \end{aligned}$$

$$\text{Lengan terhadap fondasi, } Y_{TB} = ha + hb + h1 + h2 + h3 + 1,8 = 14,3 \text{ m}$$

$$\text{Momen terhadap fondasi, } M_{TB} = 7150 \text{ kNm}$$

$$\text{Lengan terhadap pilar, } Y_{TB} = hb + h1 + h2 + h3 + 1,8 = 12,8 \text{ m}$$

$$\text{Momen terhadap pilar, } M_{TBP} = 6400 \text{ kNm}$$

5.2.6 Beban Angin (EW)

Gaya akibat angin yang meniup bidang samping jembatan layang dihitung

menggunakan rumus:

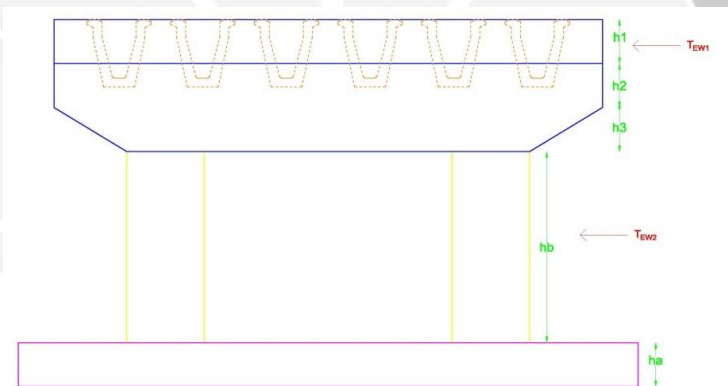
$$T_{EW} = 0,0006 \times C_w \times V_w^2 \times Ab$$

keterangan :

C_w = Koefisien seret

V_w = Kecepatan angin rencana (m/s)

Ab = Luas bidang samping Jembatan (m^2)



Gambar 5.9 Sketsa Beban Angin

$$C_w = 1,25$$

$$V_w = 35 \text{ m/s}$$

Beban angin pada struktur atas :

$$T_{EW1} = Q_{EW} \times L = 1,01 \times 50,8 = 51,2 \text{ kN}$$

$$\text{Lengan terhadap fondasi, } Y_{EW1} = h_a + h_b + h_1 + h_2 + h_3 - (h_B/2) = 11,4 \text{ m}$$

Momen pada fondasi akibat angin struktur atas :

$$M_{EW1} = T_{EW1} \times Y_{EW1} = 581,2 \text{ kNm}$$

$$\text{Lengan terhadap pilar, } Y_{EW1'} = h_b + h_1 + h_2 + h_3 - (h_B/2) = 9,85 \text{ m}$$

Momen pada pilar akibat angin struktur atas :

$$M_{EW1'} = T_{EW1} \times Y_{EW1'} = 504,4 \text{ kNm}$$

Tinggi bidang samping struktur bawah :

$$h_{sb} = h_b + h_1 + h_2 + h_3 = 11,0 \text{ m}$$

Luas bidang samping Jembatan

$$Ab = (h_{sb} \times b_8) - (2 \times h_1 \times b_{10}) = 36,0 \text{ m}$$

Beban angin pada struktur bawah :

$$T_{EW2} = 0,0006 \times Cw \times VW^2 \times Ab = 33,1 \text{ kN}$$

$$\text{Lengan terhadap fondasi, } Y_{EW2} = 5,5 \text{ m}$$

Momen pada fondasi akibat angin struktur bawah

$$M_{EW2} = T_{EW2} \times Y_{EW2} = 181,9 \text{ kNm}$$

$$\text{Lengan terhadap pilar, } Y_{EW2'} = 4,8 \text{ m}$$

Momen pada pilar akibat angin struktur bawah :

$$M_{EW2'} = T_{EW2} \times Y_{EW2'} = 157,1 \text{ kNm}$$

$$\text{Total beban akibat gaya angin, } T_{EW} = T_{EW1} + T_{EW2} = 84,3 \text{ kN}$$

$$\text{Momen pada fondasi akibat gaya angin, } M_{EW} = M_{EW1} + M_{EW2} = 763 \text{ kNm}$$

$$\text{Momen pada pilar akibat gaya angin, } M_{EW} = M_{EW1} + M_{EW2'} = 661 \text{ kNm}$$

Terdapat beban garis merata tambahan arah horisontal pada permukaan lantai

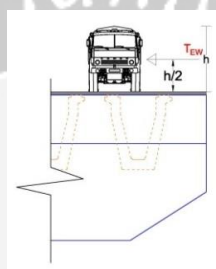
yang merupakan beban angin kendaraan dengan rumus :

$$T_{EW} = 0,0012 \times C_W \times (V_W)^2 \text{ kN/m}$$

Keterangan :

$$C_W = 1,2$$

$$T_{EW} = 1,76 \text{ kN/m}$$



Gambar 5.10 Sketsa Beban Angin pada Kendaraan

Bidang vertikal yang ditiup angin merupakan bidang sanping kendaraan dengan tinggi 2 meter di atas lantai jembatan.

$$\text{Jarak antar roda kendaraan, } x = 1,75 \text{ m}$$

$$\text{Beban angin pada kendaraan, } Q_{EW} = 1/2 \times h/x \times T_{EW} = 1,01$$

$$\text{Gaya pada beban angin kendaraan } P_{EW} = 52,4 \text{ kN}$$

5.2.7 Beban Gempa (EQ)

Beban gempa rencana dhitung dengan rumus : $T_{EQ} = K_h \times I \times W_t$

dengan,

$$K_h = C \times S$$

Keterangan :

T_{EQ} = Gaya geser dasar total pada arah yang ditinjau (kN)

K_h = Koefisien beban gempa horisontal

I = Faktor kepentingan

W_t = Berat total jembatan ($P_{MS} + P_{MA}$)

C = Koefisien geser dasar untuk wilayah gempa, waktu getar, dan kondisi tanah

S = Faktor tipe struktur yang berhubungan dengan kepastian penyerapan energi gempa (daktilitas) dari struktur jembatan.

Waktu getar struktur dihitung dengan rumus :

$$T = 2 \times \pi \times \sqrt{\frac{W_{TP}}{g \times K_p}}$$

Keterangan :

g = Percepatan gravitasi ($9,8 \text{ m/s}^2$)

K_p = Kekakuan struktur yang merupakan gaya horizontal yang diperlukan untuk menimbulkan satuan lendutan (kN/m)

$$W_{TP} = P_{MS(\text{struktur atas})} + 0,5 P_{MS(\text{struktur bawah})}$$

1. Beban gempa arah memanjang jembatan (arah X)

Ukuran penampang pilar, $b_4 = 2,5 \text{ m}$, $b_8 = 3 \text{ m}$

Luas penampang pilar, $A_p = 15 \text{ m}^2$

Lebar ekivalen pilar, $B_e = A_p / b_8 = 5 \text{ m}$

Tinggi pilar, $h_b = 6,5 \text{ m}$

Inersia penampang pilar $I_c = (1/12 \times b_e \times h^3) = 11,3 \text{ m}^4$

Mutu beton, $f'_c = 35 \text{ MPa}$

$$\text{Modulus elastis beton, } E_c = 4700 \times \sqrt{fc'} = 27806 \text{ MPa} \\ = 27805575 \text{ kPa}$$

$$\text{Nilai kekakuan } K_p = 3 \times E_c \times (I_c / h_b^3) = 3417162,2 \text{ kN/m}$$

$$\text{Percepatan gravitasi, } g = 9,8 \text{ m/s}^2$$

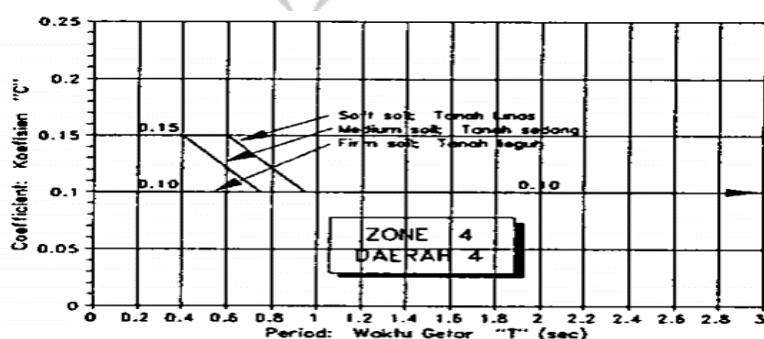
$$\text{Berat sendiri struktur atas, } P_{MS(str\ atas)} = 21162 \text{ kN}$$

$$\text{Berat sendiri struktur bawah, } P_{MS(str\ bawah)} = 20947 \text{ kN}$$

$$\text{Berat total struktur, } W_{TP} = P_{MS(str\ atas)} + 0,5 \times P_{MS(str\ bawah)} = 31636 \text{ kN}$$

$$\text{Waktu getar alami struktur, } T = 0,193 \text{ s}$$

Kondisi tanah dasar termasuk sedang dan terletak di wilayah gempa zona 4 yang memiliki nilai PGA (*Peak Ground Analysis*) sebesar 0,3 g, lalu untuk menahan gelombang gempa dalam satuan *Skala Richter* (SR) belum ada tolok ukur yang pasti di Indonesia. Hubungan antara waktur getar dengan koefisien geser dapat dilihat dari Gambar 5.11



Gambar 5.11 Grafik Respon Spektrum Gempa Wilayah Zona 4

Nilai koefisien geser dasar yang diperoleh dari grafik ialah :

$$C = 0,15$$

Untuk struktur jembatan dengan daerah sendi plastis beton bertulang,
maka faktor jenis struktur dinyatakan dengan rumus :

$$S = I \times F \quad \text{dimana } F = 1,25 - 0,025 \times n \quad \text{dan } F \text{ harus diambil } \geq 1$$

F = Faktor perangkaan,

n = Jumlah sendi plastis yang menahan deformasi arah lateral.

$$\text{Untuk, } n = 1, \text{ maka : } F = 1,225$$

$$S = 1,225$$

$$\text{Koefisien beban gempa horizontal } K_h = C \times S = 0,18$$

Untuk jembatan membuat lebih dari 2000 kendaraan/hari, jembatan pada
jalan raya utama dan ateri, dan jembatan tidak ada rute alternatif maka,

$$\text{faktor kepentingan } I = 1,20$$

$$\text{Gaya gempa, } T_{EQ} = K_h \times I \times Wt = 0,22 \times Wt$$

Tabel 5.6 Perhitungan Beban Gempa Arah Memanjang

| No | Jenis Beban Mati | W | T_{EQ} | Lengan terhadap fondasi | | Momen |
|----|-----------------------------|---------|----------|-------------------------|-----|---------|
| | | kN | kN | m | mNm | |
| 1 | Berat sendiri struktur atas | 21162,3 | 4666,3 | 11,35 | m | 52962,3 |
| 2 | Berat mati tambahan | 357 | 78,657 | 11,35 | m | 892,754 |
| 3 | Berat sendiri kepala pilar | 4206,6 | 927,56 | 9,5905 | m | 8895,72 |
| 4 | Berat sendiri pilar | 2340 | 515,97 | 4,75 | m | 2450,86 |
| 5 | Berat sendiri pile cap | 14400 | 3175,2 | 0,75 | m | 2381,4 |

$$T_{EQX} = 9363,7 \text{ kN}, \quad M_{EQX} = 67583 \text{ kNm}$$

$$\text{Lengan terhadap fondasi} = Y_{EQ} = M_{EQX} / T_{EQ} = 7,22 \text{ m}$$

$$\text{Lengan terhadap pilar} = Y_{EQ'} = Y_{EQ} - h_a = 5,72 \text{ m}$$

$$\text{Momen terhadap pilar} = M_{EQX'} = Y_{EQ'} \times T_{EQX} = 53537,5 \text{ kNm}$$

2. Beban gempa arah melintang jembatan (arah Y)

$$\text{Inersia penampang pilar} I_c = (1/12 \times h \times b_e^3) = 31,3 \text{ m}^4$$

$$\text{Nilai kekakuan, } K_p = 3 \times E_c \times (I_c / h_b^3) = 9492117,1 \text{ kN/m}$$

$$\text{Waktu getar alami struktur, } T = 0,116 \text{ s}$$

$$\text{Koefisien geser dasar, } C = 0,15$$

$$\text{Faktor tipe struktur, } I = 1,2$$

$$\text{Koefisien beban gempa horizontal, } S = 1,225$$

$$\text{Faktor kepentingan, } K_h = 0,18375$$

$$\text{Gaya gempa, } T_{EQ} = K_h \times I \times W_t = 0,22 \times W_t$$

$$\text{Berat sendiri (str atas + str bawah), } P_{MS} = 42108,9 \text{ kN}$$

$$\text{Beban mati tambahan, } P_{MA} = 357 \text{ kN}$$

$$\text{Beban mati total, } W_t = P_{MS} + P_{MA} = 42466 \text{ kN}$$

$$\text{Beban gempa arah melintang jembatan, } T_{EQY} = 9363,66 \text{ kN}$$

$$\text{Momen fondasi akibat beban gempa, } M_{EQY} = 67583 \text{ kNm}$$

$$\text{Momen terhadap pilar} = M_{EQX} = Y_{EQ'} \times T_{EQY} = 53537,5 \text{ kNm}$$

5.2.8 Beban Akibat Gesekan Perletakan (FB)

$$\text{Koefisien gesek pada tumpuan berupa elastomer, } = 0,18$$

Gaya gesek yang timbul hanya akan ditinjau terhadap beban berat sendiri dan

beban mati tambahan yang di hitung dengan rumus :

$$T_{FB} = \mu x (P_{MS} + P_{MA})$$

dimana, P_{MS} = Beban sendiri = 21162 kN

P_{MA} = Beban mati tambahan = 357 kN

T_{FB} = 3873,4 kN

Lengan terhadap fondasi, $Y_{FB} = h_a + h_b + h_3 + h_4 = 11$ m

Momen pada fondasi akibat gesekan, $M_{FB} = 42608$ kNm

Lengan terhadap dasar pilar, $Y_{FB'} = h_b + h_3 + h_2 = 9,5$ m

Momen pada pilar akibat gesekan, $M_{FB'} = 36797$ kNm

5.2.9 Beban Akibat Gaya Perbedaan Suhu (ET)

Beban akibat gaya perbedaan suhu yang terjadi dapat menimbulkan deformasi maupun tegangan. Perbedaan suhu yang diambil besarnya setengah dari selisih suhu maksimum dan minimum rata-rata pada lantai jembatan.

Suhu maksimum rata-rata, $T_{MAX} = 40$ °C

Suhu maksimum rata-rata, $T_{MIN} = 15$ °C

Perbedaan suhu, $\Delta T = (T_{MAX} - T_{MIN}) / 2 = 12,5$ °C

Koefisien muai panjang untuk beton, $\alpha = 0,00001$ /°C

Kekakuan geser tumpuan berupa elastomeric bearing, $k = 1500$ kN/m

Panjang bentang jembatan, $L = 52$ m

Jumlah tumpuan elastomeric, $n = 12$ buah

Pengaruh temperatur pada struktur bawah dapat dihitung dengan rumus :

$$T_{ET} = \alpha x \Delta T x k x L/2 x n \\ = 58,5 \text{ kN}$$

Lengan terhadap fondasi, $Y_{ET} = 12,5 \text{ m}$

Momen terhadap fondasi akibat suhu $M_{ET} = 731 \text{ kNm}$

Lengan terhadap pilar, $Y'_{ET} = 11 \text{ m}$

Momen terhadap pilar akibat suhu, $M'_{ET} = 644 \text{ kNm}$

5.2.10 Kombinasi Pembebanan

Kombinasi pembebanan yang bekerja akan direkap pada Tabel 5.6

sampai dengan Tabel 5.12

Tabel 5.7 Rekap Beban Kerja

| No | Beban/Aksi | Kode | <i>P</i> | <i>T_X</i> | <i>T_Y</i> | <i>M_X</i> | <i>M_Y</i> |
|----|---------------------|------|----------|----------------------|----------------------|----------------------|----------------------|
| | | | kN | kN | kN | kNm | kNm |
| 1 | Berat Sendiri | MS | 42108,9 | | | | |
| 2 | Beban Mati Tambahan | MA | 356,7 | | | | |
| 3 | Beban Lajur "D" | TD | 4342,9 | | | | |
| 4 | Beban Pedestrian | TP | 51,9 | | | | |
| 5 | Gaya Rem | TB | | 500,0 | | 7150,0 | |
| 6 | Beban Suhu | ET | | 58,5 | | 731,3 | |
| 7 | Gaya Gesek | FB | | 3873,4 | | 42607,6 | |
| 8 | Beban Angin | EW | 52,4 | | 84,3 | | 763,1 |
| 9 | Beban Gempa | EQ | | 9363,7 | 9363,7 | 67583,0 | 67583,0 |

Tabel 5.8 Rekap Beban Kerja Kombinasi 1

| No | Beban/Aksi | Kode | <i>P</i> | <i>T_X</i> | <i>T_Y</i> | <i>M_X</i> | <i>M_Y</i> |
|----|---------------------|------|----------|----------------------|----------------------|----------------------|----------------------|
| | | | kN | kN | kN | kNm | kNm |
| 1 | Berat Sendiri | MS | 42108,9 | | | | |
| 2 | Beban Mati Tambahan | MA | 356,7 | | | | |
| 3 | Beban Lajur "D" | TD | 4342,9 | | | | |
| 4 | Beban Pedestrian | TP | 51,9 | | | | |
| 5 | Gaya Rem | TB | | | | | |
| 6 | Beban Suhu | ET | | | | | |
| 7 | Gaya Gesek | FB | | | | | |
| 8 | Beban Angin | EW | | | | | |
| 9 | Beban Gempa | EQ | | | | | |
| | | | 46860,4 | 0,0 | 0 | 0,0 | 0,0 |

Tabel 5.9 Rekap Beban Kerja Kombinasi 2

| No | Beban/Aksi | Kode | <i>P</i> | <i>T_X</i> | <i>T_Y</i> | <i>M_X</i> | <i>M_Y</i> |
|----|---------------------|------|----------|----------------------|----------------------|----------------------|----------------------|
| | | | kN | kN | kN | kNm | kNm |
| 1 | Berat Sendiri | MS | 42108,9 | | | | |
| 2 | Beban Mati Tambahan | MA | 356,7 | | | | |
| 3 | Beban Lajur "D" | TD | 4342,9 | | | | |
| 4 | Beban Pedestrian | TP | 51,9 | | | | |

Lanjutan Tabel 5.9

| No | Beban/Aksi | Kode | <i>P</i> | <i>T_X</i> | <i>T_Y</i> | <i>M_X</i> | <i>M_Y</i> |
|----|-------------|------|----------|----------------------|----------------------|----------------------|----------------------|
| | | | kN | kN | kN | kNm | kNm |
| 5 | Gaya Rem | TB | | 500,0 | | 7150,0 | |
| 6 | Beban Suhu | ET | | | | | |
| 7 | Gaya Gesek | FB | | | | | |
| 8 | Beban Angin | EW | 52,4 | | 84,3 | | 763,1 |
| 9 | Beban Gempa | EQ | | | | | |
| | | | 46912,8 | 500,0 | 84 | 7150,0 | 763,1 |

Tabel 5.10 Rekap Beban Kerja Kombinasi 3

| No | Beban/Aksi | Kode | <i>P</i> | <i>T_X</i> | <i>T_Y</i> | <i>M_X</i> | <i>M_Y</i> |
|----|---------------------|------|----------|----------------------|----------------------|----------------------|----------------------|
| | | | kN | kN | kN | kNm | kNm |
| 1 | Berat Sendiri | MS | 42108,9 | | | | |
| 2 | Beban Mati Tambahan | MA | 356,7 | | | | |
| 3 | Beban Lajur "D" | TD | 4342,9 | | | | |
| 4 | Beban Pedestrian | TP | 51,9 | | | | |
| 5 | Gaya Rem | TB | | 500,0 | | 7150,0 | |
| 6 | Beban Suhu | ET | | 58,5 | | 731,3 | |
| 7 | Gaya Gesek | FB | | | | | |
| 8 | Beban Angin | EW | | | | | |

Lanjutan Tabel 5.10

| No | Beban/Aksi | Kode | <i>P</i> | <i>T_X</i> | <i>T_Y</i> | <i>M_X</i> | <i>M_Y</i> |
|----|-------------|------|----------|----------------------|----------------------|----------------------|----------------------|
| | | | kN | kN | kN | kNm | kNm |
| 9 | Beban Gempa | EQ | | | | | |
| | | | 46860,4 | 558,5 | 0 | 7881,3 | 0,0 |

Tabel 5.11 Rekap Beban Kerja Kombinasi 4

| No | Beban/Aksi | Kode | <i>P</i> | <i>T_X</i> | <i>T_Y</i> | <i>M_X</i> | <i>M_Y</i> |
|----|---------------------|------|----------|----------------------|----------------------|----------------------|----------------------|
| | | | kN | kN | kN | kNm | kNm |
| 1 | Berat Sendiri | MS | 42108,9 | | | | |
| 2 | Beban Mati Tambahan | MA | 356,7 | | | | |
| 3 | Beban Lajur "D" | TD | 4342,9 | | | | |
| 4 | Beban Pedestrian | TP | 51,9 | | | | |
| 5 | Gaya Rem | TB | | 500,0 | | 7150,0 | |
| 6 | Beban Suhu | ET | | 58,5 | | 731,3 | |
| 7 | Gaya Gesek | FB | | 3873,4 | | 42607,6 | |
| 7 | Beban Angin | EW | 52,4 | | 84,3 | | 763,1 |
| 8 | Beban Gempa | EQ | | | | | |
| | | | 46912,8 | 4431,9 | 84 | 50488,8 | 763,1 |

Tabel 5.12 Rekap Beban Kerja Kombinasi 5

| No | Beban/Aksi | Kode | <i>P</i> | <i>T_X</i> | <i>T_Y</i> | <i>M_X</i> | <i>M_Y</i> |
|----|---------------------|------|----------|----------------------|----------------------|----------------------|----------------------|
| | | | kN | kN | kN | kNm | kNm |
| 1 | Berat Sendiri | MS | 42108,9 | | | | |
| 2 | Beban Mati Tambahan | MA | 356,7 | | | | |
| 3 | Beban Lajur "D" | TD | | | | | |
| 4 | Beban Pedestrian | TP | | | | | |
| 5 | Gaya Rem | TB | | | | | |
| 6 | Beban Suhu | ET | | | | | |
| 7 | Gaya Gesek | FB | | | | | |
| 7 | Beban Angin | EW | | | | | |
| 8 | Beban Gempa | EQ | | 9363,7 | 9364 | 67583,0 | 67583 |
| | | | 42465,6 | 9363,7 | 9364 | 67583,0 | 67583,0 |

Tabel 5.13 Rekap Kombinasi Beban Kerja Keseluruhan

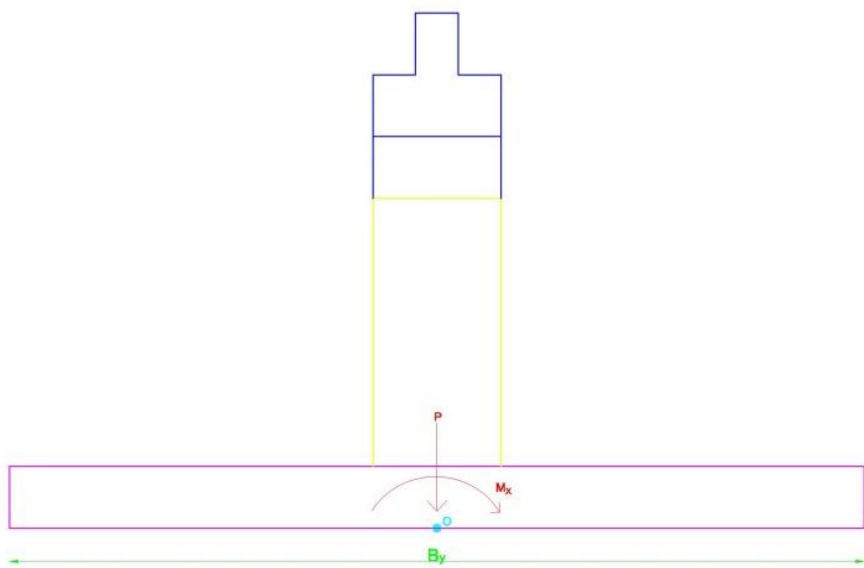
| No | Kombinasi Beban | Tegangan berlebih (<i>k</i>) | <i>P</i> | <i>T_X</i> | <i>T_Y</i> | <i>M_X</i> | <i>M_Y</i> |
|----|-----------------|--------------------------------|----------|----------------------|----------------------|----------------------|----------------------|
| | | | kN | kN | kN | kNm | kNm |
| 1 | Kombinasi - 1 | 0% | 46860,4 | 0,0 | 0 | 0,0 | 0,0 |
| 2 | Kombinasi - 2 | 25% | 46912,8 | 500,0 | 84,3 | 7150,0 | 763,1 |
| 3 | Kombinasi - 3 | 25% | 46860,4 | 558,5 | 0,0 | 7881,3 | 0,0 |
| 4 | Kombinasi - 4 | 40% | 46912,8 | 4431,9 | 84,3 | 50488,8 | 763,1 |
| 5 | Kombinasi - 5 | 50% | 42465,6 | 9363,7 | 9364 | 67583,0 | 67583,0 |

5.3 Stabilitas Guling dan Geser

5.3.1 Kontrol Stabilitas Guling Arah X

Stabilitas guling arah x ini akan menggunakan angka aman (SF) sebesar

2,2. Letak titik guling terhadap titik O seperti pada Gambar 5,12



Gambar 5.12 Beban dan Momen untuk Stabilitas Guling Arah X

Letak titik guling terhadap pusat pondasi : $By/2 = 10 \text{ m}$

Momen penahan guling, $M_{px} = P x (B_y / 2) x (1 + k)$

$$SF = M_{px} / M_x \geq 2.2$$

Keterangan :

P = Beban yang terjadi (ton)

k = Persen kelebihan beban yang diijinkan (%)

M_x = Momen penyebab guling arah X (kNm)

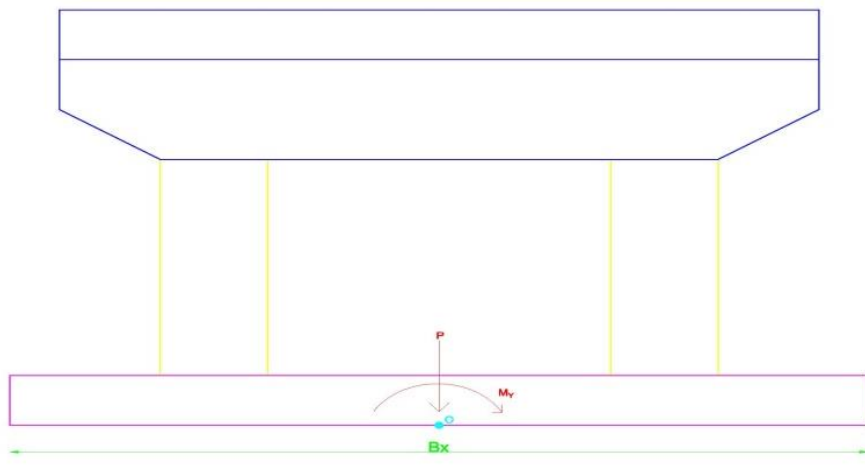
Tabel 5.14 Stabilitas Guling Arah X

| No | Kombinasi Beban | k | P (kN) | M_x (kNm) | M_{px} (kNm) | SF | Ket. |
|----|-----------------|------|----------|-------------|----------------|-------|------|
| 1 | Kombinasi - 1 | 0,00 | 46860,4 | 0,00 | 468603,64 | | |
| 2 | Kombinasi - 2 | 0,25 | 46912,8 | 7150,00 | 586409,75 | 82,02 | AMAN |
| 3 | Kombinasi - 3 | 0,25 | 46860,4 | 7881,25 | 585754,55 | 74,32 | AMAN |
| 4 | Kombinasi - 4 | 0,40 | 46912,8 | 50488,84 | 656778,92 | 13,01 | AMAN |
| 5 | Kombinasi - 5 | 0,50 | 42465,6 | 67583,00 | 636983,76 | 9,43 | AMAN |

5.3.2 Kontrol Stabilitas Guling Arah Y

Stabilitas guling arah y ini akan menggunakan angka aman (SF) sebesar

2,2. Letak titik guling terhadap titik O seperti pada Gambar 5,13

**Gambar 5.13 Beban dan Momen untuk Stabilitas Guling Arah Y**

Letak titik guling terhadap pusat pondasi : $B_x/2 = 10$ m

$$\text{Momen penahan guling, } M_{py} = P x (B_x / 2) x (1 + k)$$

$$SF = M_{py} / M_x \geq 2,2$$

Keterangan :

P = Beban yang terjadi (ton)

k = Persen kelebihan beban yang diijinkan (%)

M_y = Momen penyebab guling arah Y (kNm)

Tabel 5.15 Stabilitas Guling Arah Y

| No | Kombinasi Beban | k | P (kN) | M_y (kNm) | M_{py} (kNm) | SF | Ket. |
|----|-----------------|------|----------|-------------|----------------|--------|------|
| 1 | Kombinasi - 1 | 0,00 | 46860,4 | 0,00 | 468603,64 | | |
| 2 | Kombinasi - 2 | 0,25 | 46912,8 | 763,11 | 586409,75 | 768,45 | AMAN |
| 3 | Kombinasi - 3 | 0,25 | 46860,4 | 0,00 | 585754,55 | | |
| 4 | Kombinasi - 4 | 0,40 | 46912,8 | 763,11 | 656778,92 | 860,67 | AMAN |
| 5 | Kombinasi - 5 | 0,50 | 42465,6 | 67583,00 | 636983,76 | 9,43 | AMAN |

5.3.3 Kontrol Stabilitas Geser Arah X

Stabilitas geser arah x ini akan menggunakan angka aman (SF) sebesar

1,1 dengan menggunakan perhitungan:

$$\text{Gaya penahan geser, } H = (C \times B_x \times B_y + P \times \tan \phi) \times (1 + k)$$

$$SF = H / T_x \geq 1,1$$

keterangan :

ϕ = Sudut gesek = 30°

C = Kohesi pada tanah = 0 kPa

B_x = Lebar dasar *pile cap* = 20 m

B_y = Panjang bentang dasar *pile cap* = 20 m

k = Persen kelebihan beban yang diijinkan (%)

T_x = Gaya penyebab geser (kN)

Tabel 5.16 Stabilitas Geser Arah X

| No | Kombinasi Beban | k | P (kN) | T_x (kNm) | H (kNm) | SF | Ket. |
|----|-----------------|------|----------|-------------|---------|------|------|
| 1 | Kombinasi - 1 | 0,00 | 46860,4 | 0,0 | 27054,8 | | |
| 2 | Kombinasi - 2 | 0,25 | 46912,8 | 500,0 | 33856,4 | 67,7 | AMAN |
| 3 | Kombinasi - 3 | 0,25 | 46860,4 | 558,5 | 33818,6 | 60,6 | AMAN |
| 4 | Kombinasi - 4 | 0,40 | 46912,8 | 4431,9 | 37919,1 | 8,6 | AMAN |
| 5 | Kombinasi - 5 | 0,50 | 42465,6 | 9363,7 | 36776,3 | 3,9 | AMAN |

5.3.1 Kontrol Stabilitas Geser Arah Y

Stabilitas geser arah y ini akan menggunakan angka aman (SF) sebesar 1,1 dengan menggunakan perhitungan:

$$\text{Gaya penahan geser, } H = (C \times B_x \times B_y + P \times \tan \phi) \times (1 + k)$$

$$SF = H / T_x \geq 1,1$$

keterangan :

$$\phi = \text{Sudut gesek} = 30^\circ$$

$$C = \text{Kohesi pada tanah} = 0 \text{ kPa}$$

$$B_x = \text{Lebar dasar pile cap} = 20 \text{ m}$$

$$B_y = \text{Panjang bentang dasar pile cap} = 20 \text{ m}$$

$$k = \text{Persen kelebihan beban yang diijinkan} (%)$$

$$T_y = \text{Gaya penyebab geser (kN)}$$

Tabel 5.17 Stabilitas Geser Arah Y

| No | Kombinasi Beban | <i>k</i> | <i>P</i> (kN) | <i>T_y</i> (kNm) | H (kNm) | SF | Ket. |
|----|-----------------|----------|---------------|----------------------------|---------|-------|------|
| 1 | Kombinasi - 1 | 0,00 | 46860,4 | 0,0 | 27054,8 | | |
| 2 | Kombinasi - 2 | 0,25 | 46912,8 | 84,3 | 33856,4 | 401,7 | AMAN |
| 3 | Kombinasi - 3 | 0,25 | 46860,4 | 0,0 | 33818,6 | | |
| 4 | Kombinasi - 4 | 0,40 | 46912,8 | 84,3 | 37919,1 | 449,9 | AMAN |
| 5 | Kombinasi - 5 | 0,50 | 42465,6 | 9363,7 | 36776,3 | 3,9 | AMAN |

5.3.5 Analisis Beban Ultimit

Analisis beban ultimit ini bertujuan untuk mengetahui momen dan beban geser setiap bagian, sehingga dari perhitungan beban ultimit tersebut, dapat diperhitungkan kebutuhan dari penulangan untuk struktur bawah. Bagian struktur bawah yang akan dihitung adalah pilar, dan *pile cap*.

1. *Pile cap*

Tabel 5.18 Rekap Beban *Pile Cap*

| No | Beban/Aksi | Kode | <i>P</i> | <i>T_x</i> | <i>T_y</i> | <i>M_x</i> | <i>M_y</i> |
|----|---------------------|------|----------|----------------------|----------------------|----------------------|----------------------|
| | | | kN | kN | kN | kNm | kNm |
| 1 | Berat Sendiri | MS | 42108,9 | | | | |
| 2 | Beban Mati Tambahan | MA | 356,7 | | | | |
| 3 | Beban Lajur "D" | TD | 4342,9 | | | | |
| 4 | Beban Pedestrian | TP | 51,9 | | | | |

Lanjutan Tabel 5.18

| No | Beban/Aksi | Kode | <i>P</i> | <i>T_X</i> | <i>T_Y</i> | <i>M_X</i> | <i>M_Y</i> |
|----|-------------|------|----------|----------------------|----------------------|----------------------|----------------------|
| | | | kN | kN | kN | kNm | kNm |
| 5 | Gaya Rem | TB | | 500,0 | | 7150,0 | |
| 6 | Beban Suhu | ET | | 58,5 | | 731,3 | |
| 7 | Gaya Gesek | FB | | 3873,4 | | 42607,6 | |
| 8 | Beban Angin | EW | 52,4 | | 84,3 | | 763,1 |
| 9 | Beban Gempa | EQ | | 9363,7 | 9363,7 | 67583,0 | 67583,0 |

Tabel 5.19 Beban Ultimit Pile Cap

| No | Beban/Aksi | <i>k</i> | <i>P_u</i> | <i>T_{ux}</i> | <i>T_{uy}</i> | <i>M_{ux}</i> | <i>M_{uy}</i> |
|----|---------------------|----------|----------------------|-----------------------|-----------------------|-----------------------|-----------------------|
| | | | kN | kN | kN | kNm | kNm |
| 1 | Berat Sendiri | 1,3 | 54741,5 | | | | |
| 2 | Beban Mati Tambahan | 2 | 713,4 | | | | |
| 3 | Beban Lajur "D" | 1,8 | 7817,3 | | | | |
| 4 | Beban Pedestrian | 1,8 | 93,4 | | | | |
| 5 | Gaya Rem | 1,8 | | 900,0 | | 12870,0 | |
| 6 | Beban Suhu | 1,2 | | 70,2 | | 877,5 | |
| 7 | Gaya Gesek | 1 | | 3873,4 | | 42607,6 | |
| 8 | Beban Angin | 1,3 | 68,1 | | 109,6 | | 992,0 |
| 9 | Beban Gempa | 1 | | 9363,7 | 9363,7 | 67583,0 | 67583,0 |

Tabel 5.20 Beban Ultimit Pile Cap 1

| No | Beban/Aksi | k | P_u | T_{ux} | T_{uy} | M_{ux} | M_{uy} |
|----|---------------------|-----|---------|----------|----------|----------|----------|
| | | | kN | kN | kN | kNm | kNm |
| 1 | Berat Sendiri | 1,3 | 54741,5 | | | | |
| 2 | Beban Mati Tambahan | 2 | 713,4 | | | | |
| 3 | Beban Lajur "D" | 1,8 | 7817,3 | | | | |
| 4 | Beban Pedestrian | 1,8 | | | | | |
| 5 | Gaya Rem | 1,8 | | 900,0 | | 12870,0 | |
| 6 | Beban Suhu | 1,2 | | 70,2 | | 877,5 | |
| 7 | Gaya Gesek | 1 | | | | | |
| 8 | Beban Angin | 1,2 | 68,1 | | 109,6 | | 992,0 |
| 9 | Beban Gempa | 1 | | | | | |
| | | | 63340,4 | 970,2 | 109,6 | 13747,5 | 992,0 |

Tabel 5.21 Beban Ultimit Pile Cap 2

| No | Beban/Aksi | k | P_u | T_{ux} | T_{uy} | M_{ux} | M_{uy} |
|----|---------------------|-----|---------|----------|----------|----------|----------|
| | | | kN | kN | kN | kNm | kNm |
| 1 | Berat Sendiri | 1,3 | 54741,5 | | | | |
| 2 | Beban Mati Tambahan | 2 | 713,4 | | | | |
| 3 | Beban Lajur "D" | 1,8 | 7817,3 | | | | |
| 4 | Beban Pedestrian | 1,8 | 93,4 | | | | |

Lanjutan Tabel 5.21

| No | Beban/Aksi | k | P_u | T_{ux} | T_{uy} | M_{ux} | M_{uy} |
|----|-------------|-----|---------|----------|----------|----------|----------|
| | | | kN | kN | kN | kNm | kNm |
| 5 | Gaya Rem | 1,8 | | 900,0 | | 12870,0 | |
| 6 | Beban Suhu | 1,2 | | 70,2 | | 877,5 | |
| 7 | Gaya Gesek | 1,3 | | | | | |
| 8 | Beban Angin | 1,2 | | | | | |
| 9 | Beban Gempa | 1 | | | | | |
| | | | 63365,6 | 970,2 | 0,0 | 13747,5 | 0,0 |

Tabel 5.22 Beban Ultimit Pile Cap 3

| No | Beban/Aksi | k | P_u | T_{ux} | T_{uy} | M_{ux} | M_{uy} |
|----|---------------------|-----|---------|----------|----------|----------|----------|
| | | | kN | kN | kN | kNm | kNm |
| 1 | Berat Sendiri | 1,3 | 54741,5 | | | | |
| 2 | Beban Mati Tambahan | 2 | 713,4 | | | | |
| 3 | Beban Lajur "D" | 1,8 | 7817,3 | | | | |
| 4 | Beban Pedestrian | 1,8 | | | | | |
| 5 | Gaya Rem | 1,8 | | 900,0 | | 12870,0 | |
| 6 | Beban Suhu | 1,2 | | | | | |
| 7 | Gaya Gesek | 1,3 | | 3873,4 | | 42607,6 | |
| 8 | Beban Angin | 1,2 | 68,1 | | 109,6 | | 992,0 |

Lanjutan Tabel 5.22

| No | Beban/Aksi | <i>k</i> | <i>P_u</i> | <i>T_{ux}</i> | <i>T_{uy}</i> | <i>M_{ux}</i> | <i>M_{uy}</i> |
|----|-------------|----------|----------------------|-----------------------|-----------------------|-----------------------|-----------------------|
| | | | kN | kN | kN | kNm | kNm |
| 9 | Beban Gempa | 1 | 63340,4 | 4773,4 | 109,6 | 55477,6 | 992,0 |
| | | | | | | | |

Tabel 5.23 Beban Ultimit Pile Cap 4

| No | Beban/Aksi | <i>k</i> | <i>P_u</i> | <i>T_{ux}</i> | <i>T_{uy}</i> | <i>M_{ux}</i> | <i>M_{uy}</i> |
|----|---------------------|----------|----------------------|-----------------------|-----------------------|-----------------------|-----------------------|
| | | | kN | kN | kN | kNm | kNm |
| 1 | Berat Sendiri | 1,3 | 54741,5 | | | | |
| 2 | Beban Mati Tambahan | 2 | 713,4 | | | | |
| 3 | Beban Lajur "D" | 1,8 | 7817,3 | | | | |
| 4 | Beban Pedestrian | 1,8 | 93,4 | | | | |
| 5 | Gaya Rem | 1,8 | | 900,0 | | 12870,0 | |
| 6 | Beban Suhu | 1,2 | | 70,2 | | 877,5 | |
| 7 | Gaya Gesek | 1,3 | | 3873,4 | | 42607,6 | |
| 8 | Beban Angin | 1,2 | 68,1 | | 109,6 | | 992,0 |
| 9 | Beban Gempa | 1 | | | | | |
| | | | 63433,7 | 4843,6 | 109,6 | 56355,1 | 992,0 |

Tabel 5.23 Beban Ultimit Pile Cap 5

| No | Beban/Aksi | k | P_u | T_{ux} | T_{uy} | M_{ux} | M_{uy} |
|----|---------------------|-----|---------|----------|----------|----------|----------|
| | | | kN | kN | kN | kNm | kNm |
| 1 | Berat Sendiri | 1,3 | 54741,5 | | | | |
| 2 | Beban Mati Tambahan | 2 | 713,4 | | | | |
| 3 | Beban Lajur "D" | 1,8 | | | | | |
| 4 | Beban Pedestrian | 1,8 | | | | | |
| 5 | Gaya Rem | 1,8 | | | | | |
| 6 | Beban Suhu | 1,2 | | | | | |
| 7 | Gaya Gesek | 1,3 | | | | | |
| 8 | Beban Angin | 1,2 | | | | | |
| 9 | Beban Gempa | 1 | | 9363,7 | 9363,7 | 67583,0 | 67583,0 |
| | | | 55455,0 | 9363,7 | 9363,7 | 67583,0 | 67583,0 |

Tabel 5.25 Rekap Kombinasi Beban Ultimit Pile Cap

| Kombinasi Beban | P_u | T_{ux} | T_{uy} | M_{ux} | M_{uy} |
|-------------------|---------|----------|----------|----------|----------|
| | kN | kN | kN | kNm | kNm |
| Kombinasi Beban 1 | 63340,4 | 970,2 | 109,6 | 13747,5 | 992,0 |
| Kombinasi Beban 2 | 63365,6 | 970,2 | 0,0 | 13747,5 | 0,0 |
| Kombinasi Beban 3 | 63340,4 | 4773,4 | 109,6 | 55477,6 | 992,0 |
| Kombinasi Beban 4 | 63433,7 | 4843,6 | 109,6 | 56355,1 | 992,0 |
| Kombinasi Beban 5 | 55455,0 | 9363,7 | 9363,7 | 67583,0 | 67583,0 |

2. Pilar

Tabel 5.26 Rekap Beban pilar

| No | Beban/Aksi | Kode | P | T_x | T_y | M_x | M_y |
|----|---------------------|------|---------|--------|--------|---------|---------|
| | | | kN | kN | kN | kNm | kNm |
| 1 | Berat Sendiri | MS | 27708,9 | | | | |
| 2 | Beban Mati Tambahan | MA | 356,7 | | | | |
| 3 | Beban Lajur "D" | TD | 356,7 | | | | |
| 4 | Beban Pedestrian | TP | 51,9 | | | | |
| 5 | Gaya Rem | TB | | 500,0 | | 6400,0 | |
| 6 | Beban Suhu | ET | | 58,5 | | 643,5 | |
| 7 | Gaya Gesek | FB | | 3873,4 | | 36797,5 | |
| 8 | Beban Angin | EW | 52,4 | | 84,3 | | 661,5 |
| 9 | Beban Gempa | EQ | | 6188,5 | 6188,5 | 53537,5 | 53537,5 |

Tabel 5.24 Beban Ultimit Pilar

| No | Beban/Aksi | k | P_u | T_{ux} | T_{uy} | M_{ux} | M_{uy} |
|----|---------------------|-----|---------|----------|----------|----------|----------|
| | | | kN | kN | kN | kNm | kNm |
| 1 | Berat Sendiri | 1,3 | 36021,5 | | | | |
| 2 | Beban Mati Tambahan | 2 | 713,4 | | | | |
| 3 | Beban Lajur "D" | 1,8 | 642,1 | | | | |
| 4 | Beban Pedestrian | 1,8 | 93,4 | | | | |

Lanjutan Tabel 5.24

| No | Beban/Aksi | k | P_u | T_{ux} | T_{uy} | M_{ux} | M_{uy} |
|----|-------------|-----|-------|----------|----------|----------|----------|
| | | | kN | kN | kN | kNm | kNm |
| 5 | Gaya Rem | 1,8 | | 900,0 | | 11520,0 | |
| 6 | Beban Suhu | 1,2 | | 70,2 | | 772,2 | |
| 7 | Gaya Gesek | 1,3 | | 5035,4 | | 47836,7 | |
| 8 | Beban Angin | 1,2 | 62,9 | | 101,1 | | 793,8 |
| 9 | Beban Gempa | 1 | | 6188,5 | 6188,5 | 53537,5 | 53537,5 |

Tabel 5.27 Beban Ultimit Pilar 1

| No | Beban/Aksi | k | P_u | T_{ux} | T_{uy} | M_{ux} | M_{uy} |
|----|---------------------|-----|---------|----------|----------|----------|----------|
| | | | kN | kN | kN | kNm | kNm |
| 1 | Berat Sendiri | 1,3 | 36021,5 | | | | |
| 2 | Beban Mati Tambahan | 2 | 713,4 | | | | |
| 3 | Beban Lajur "D" | 1,8 | 642,1 | | | | |
| 4 | Beban Pedestrian | 1,8 | | | | | |
| 5 | Gaya Rem | 1,8 | | 900,0 | | 11520,0 | |
| 6 | Beban Suhu | 1,2 | | 70,2 | | 772,2 | |
| 7 | Gaya Gesek | 1,3 | | | | | |
| 8 | Beban Angin | 1,2 | 62,9 | | 101,1 | | 793,8 |
| 9 | Beban Gempa | 1 | | | | | |
| | | | 37440,0 | 970,2 | 101,1 | 12292,2 | 793,8 |

Tabel 5.28 Beban Ultimit Pilar 2

| No | Beban/Aksi | k | P_u | T_{ux} | T_{uy} | M_{ux} | M_{uy} |
|----|---------------------|-----|---------|----------|----------|----------|----------|
| | | | kN | kN | kN | kNm | kNm |
| 1 | Berat Sendiri | 1,3 | 36021,5 | | | | |
| 2 | Beban Mati Tambahan | 2 | 713,4 | | | | |
| 3 | Beban Lajur "D" | 1,8 | 642,1 | | | | |
| 4 | Beban Pedestrian | 1,8 | 93,4 | | | | |
| 5 | Gaya Rem | 1,8 | | 900,0 | | 11520,0 | |
| 6 | Beban Suhu | 1,2 | | 70,2 | | 772,2 | |
| 7 | Gaya Gesek | 1,3 | | | | | |
| 8 | Beban Angin | 1,2 | | | | | |
| 9 | Beban Gempa | 1 | | | | | |
| | | | 37470,4 | 970,2 | 0,0 | 12292,2 | 0,0 |

Tabel 5.29 Beban Ultimit Pilar 3

| No | Beban/Aksi | k | P_u | T_{ux} | T_{uy} | M_{ux} | M_{uy} |
|----|---------------------|-----|---------|----------|----------|----------|----------|
| | | | kN | kN | kN | kNm | kNm |
| 1 | Berat Sendiri | 1,3 | 36021,5 | | | | |
| 2 | Beban Mati Tambahan | 2 | 713,4 | | | | |
| 3 | Beban Lajur "D" | 1,8 | 642,1 | | | | |
| 4 | Beban Pedestrian | 1,8 | | | | | |

Lanjutan Tabel 5.29

| No | Beban/Aksi | <i>k</i> | <i>P_u</i> | <i>T_{ux}</i> | <i>T_{uy}</i> | <i>M_{ux}</i> | <i>M_{uy}</i> |
|----|-------------|----------|----------------------|-----------------------|-----------------------|-----------------------|-----------------------|
| | | | kN | kN | kN | kNm | kNm |
| 5 | Gaya Rem | 1,8 | | 900,0 | | 11520,0 | |
| 6 | Beban Suhu | 1,2 | | | | | |
| 7 | Gaya Gesek | 1,3 | | 5035,4 | | 47836,7 | |
| 8 | Beban Angin | 1,2 | 62,9 | | 101,1 | | 0,0 |
| 9 | Beban Gempa | 1 | | | | | |
| | | | 37440,0 | 5935,4 | 101,1 | 59356,7 | 0,0 |

Tabel 5.30 Beban Ultimit Pilar 4

| No | Beban/Aksi | <i>k</i> | <i>P_u</i> | <i>T_{ux}</i> | <i>T_{uy}</i> | <i>M_{ux}</i> | <i>M_{uy}</i> |
|----|---------------------|----------|----------------------|-----------------------|-----------------------|-----------------------|-----------------------|
| | | | kN | kN | kN | kNm | kNm |
| 1 | Berat Sendiri | 1,3 | 36021,5 | | | | |
| 2 | Beban Mati Tambahan | 2 | 713,4 | | | | |
| 3 | Beban Lajur "D" | 1,8 | 642,1 | | | | |
| 4 | Beban Pedestrian | 1,8 | 93,4 | | | | |
| 5 | Gaya Rem | 1,8 | | 900,0 | | 11520,0 | |
| 6 | Beban Suhu | 1,2 | | 70,2 | | 772,2 | |
| 7 | Gaya Gesek | 1,3 | | 5035,4 | | 47836,7 | |
| 8 | Beban Angin | 1,2 | 62,9 | | 101,1 | | 793,8 |

Lanjutan Tabel 5.30

| No | Beban/Aksi | <i>k</i> | P_u | T_{ux} | T_{uy} | M_{ux} | M_{uy} |
|----|-------------|----------|---------|----------|----------|----------|----------|
| | | | kN | kN | kN | kNm | kNm |
| 9 | Beban Gempa | 1 | | | | | |
| | | | 37533,3 | 6005,6 | 101,1 | 60128,9 | 793,8 |

Tabel 5.31 Beban Ultimit Pilar 5

| No | Beban/Aksi | <i>k</i> | P_u | T_{ux} | T_{uy} | M_{ux} | M_{uy} |
|----|---------------------|----------|---------|----------|----------|----------|----------|
| | | | kN | kN | kN | kNm | kNm |
| 1 | Berat Sendiri | 1,3 | 36021,5 | | | | |
| 2 | Beban Mati Tambahan | 2 | 713,4 | | | | |
| 3 | Beban Lajur "D" | 1,8 | 642,1 | | | | |
| 4 | Beban Pedestrian | 1,8 | | | | | |
| 5 | Gaya Rem | 1,8 | | | | | |
| 6 | Beban Suhu | 1,2 | | | | | |
| 7 | Gaya Gesek | 1,3 | | | | | |
| 8 | Beban Angin | 1,2 | | | | | |
| 9 | Beban Gempa | 1 | | 6188,5 | 6188,5 | 53537,5 | 53537,5 |
| | | | 37377,1 | 6188,5 | 6188,5 | 53537,5 | 53537,5 |

Tabel 5.32 Rekap Kombinasi Beban Ultimit Pilar

| Kombinasi Beban | P_u | T_{ux} | T_{uy} | M_{ux} | M_{uy} |
|-------------------|---------|----------|----------|----------|----------|
| | kN | kN | kN | kNm | kNm |
| Kombinasi Beban 1 | 37440,0 | 970,2 | 101,1 | 12292,2 | 793,8 |
| Kombinasi Beban 2 | 37470,4 | 970,2 | 0,0 | 12292,2 | 0,0 |
| Kombinasi Beban 3 | 37440,0 | 5935,4 | 101,1 | 59356,7 | 0,0 |
| Kombinasi Beban 4 | 37533,3 | 6005,6 | 101,1 | 60128,9 | 793,8 |
| Kombinasi Beban 5 | 37377,1 | 6188,5 | 6188,5 | 53537,5 | 53537,5 |

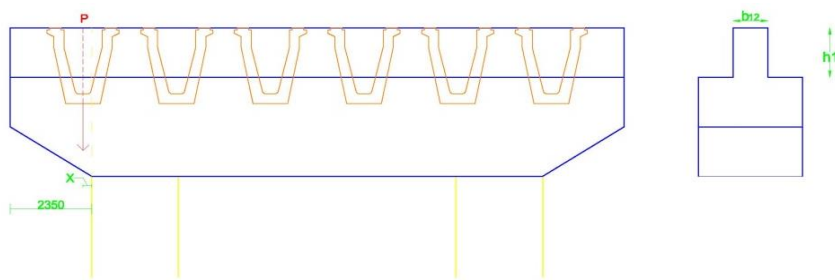
5.4 Penulangan Struktur Bawah

Penulangan struktur bawah ini bertujuan untuk menahan kuat tarik yang terjadi pada struktur beton bertulang. Perancangan tulangan ini terbagi menjadi 2 bagian yaitu penulangan kepala pilar dan pilar.

5.4.1 Kepala Pilar

1. Kepala pilar atas

Kepala pilar bagian atas didesain sebagai pemilah antar bentang struktur atas yang ada dan pembebanan yang terdapat dibagian kepala pilar atas ini adalah beban terpusat yang ada kecuali beban terpusat akibat berat struktur atas itu sendiri. Dimensi dari kepala pilar bagian atas ini sudah disesuaikan dengan bentuk struktur atas yaitu PCU girder.



Gambar 5.14 Kepala Pilar Bagian Atas

Lengan gaya reaksi girder terhadap tepi dinding pilar, $a = 0,25 \text{ m}$

Tabel 5.33 Beban Ultimit Kepala Pilar Bagian Atas

| No | Jenis Beban | Kode | P | k | M_u | V_u |
|----|---------------------|------|---------|-----|--------|--------|
| | | | kN | | kNm | Kn |
| 1 | Berat mati tambahan | MA | 356,72 | 2,0 | 178,36 | 713,4 |
| 2 | Beban jalur "D" | TD | 4342,92 | 1,8 | 1954,3 | 7817,3 |
| 3 | Beban pejalan kaki | TP | 51,86 | 1,8 | 23,3 | 93,4 |
| 4 | Beban angin | EW | 84,28 | 1,2 | 25,3 | 101,1 |
| | | | | | 2181,3 | 8725,2 |

Tulangan lentur kepala pilar bagian atas,

Momen rencana ultimit, $M_u = 2181,3 \text{ kNm}$

Tinggi kepala pilar atas, $h = 1500,0 \text{ mm}$

Jarak tulangan terhadap sisi luar beton, $d' = 100,0 \text{ mm}$

Mutu beton, $fc' = 35 \text{ MPa}$

Modulus elastis baja, = 200000 MPa

Faktor bentuk distribusi tegangan beton, $\beta_1 = 0,85$

$$\rho_b = \beta_1 \times 0,85 \times f_c' / f_y \times 600 / (600 + f_y) = 0,038$$

$$R_{max} = 0,75 \times \rho_b \times f_y \times [I - 1/2 \times 0,75 \times \rho_b \times f_y] / (0,85 \times f_c') = 9,20$$

Faktor reduksi kekuatan lentur, $\varphi = 0,8$

Tinggi efektif kepala pilar atas, $d = h - d' = 1400,0 \text{ mm}$

Lebar kepala pilar atas, $b = 1000,0 \text{ mm}$

Momen nominal rencana, $M_n = M_u / \varphi = 2726,6 \text{ kNm}$

Faktor tahanan momen, $R_n = M_n \times 10^6 / (b \times d^2) = 1,4$

(Rn < Rmax OK)

Rasio tulangan yang diperlukan :

$$\rho = 0,85 \times f_c' / f_y \times [I - \sqrt{[I - 2 \times R_n / (0,85 \times f_c')]}] = 0,0036$$

Rasio tulangan minimum, $\rho_{min} = 1,4 / f_y = 0,0035$

Rasio tulangan yang digunakan, $\rho = 0,0036$

Luas tulangan yang diperlukan, $A_s = \rho \times b \times d = 4988,5 \text{ mm}^2$

Diameter tulangan yang digunakan, D 25

Jumlah tulangan yang diperlukan, $n = A_s / (\pi / 4 \times D^2) = 10,2$

Digunakan tulangan, 12,00 D 25

Untuk menjamin daktilitas struktur, maka rasio tulangan tekan diambil

50% dari tulangan tarik. Digunakan tulangan tekan 6,00 D 25

Tulangan geser kepala pilar bagian atas,

$$\text{Gaya geser ultimit, } V_u = 8725,2 \text{ kN}$$

$$\text{Faktor reduksi kekuatan geser, } \varphi = 0,60$$

$$V_c = 1/6 \times (\sqrt{f_c}) \times b \times d \times 10^{-3} = 1380,4 \text{ kN}$$

$$\text{Gaya geser yang ditahan beton } \varphi V_c = 828,3 \text{ kN}$$

$$V_u > V_c \quad \text{Perlu tulangan geser}$$

$$\varphi V_s = V_u - \varphi V_c = 7896,93 \text{ kN}$$

$$\text{Gaya geser yang ditahan oleh tulangan geser, } V_s = 13161,6 \text{ kN}$$

$$\text{Diameter yang digunakan, } D = 22 \text{ , } n = 6$$

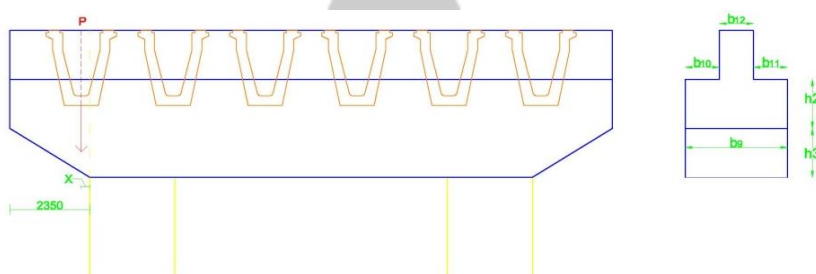
$$\text{Luas tulangan geser } A_v = n \times \pi / 4 \times D^2 = 2281,71 \text{ mm}^2$$

$$\text{Jarak tulangan geser yang diperlukan } S = A_v \times f_y \times d/V_r = 97 \text{ mm}$$

$$\text{Digunakan sengkang, } 6 \text{ D } 22 - 75$$

2. Kepala pilar bawah

Desain dari kepala pilar bagian bawah ini digunakan sebagai tumpuan dari struktur atas yang pembebanannya merupakan beban-beban terpusat dan dimensinya sudah disesuaikan dengan bentuk struktur atas.



Gambar 5.15 Kepala Pilar Bagian Bawah

Lengan gaya reaksi girder terhadap tepi dinding pilar, $\gamma = 0,25 \text{ m}$

Tabel 5.34 Beban Ultimit Kepala Pilar Bagian Bawah

| No | Jenis Beban | Kode | P | k | M_u | V_u |
|----|---------------------|------|----------|-----|--------|--------|
| | | | kN | | kNm | Kn |
| 1 | Berat sendiri | MS | 21162,26 | 1,3 | 6877,7 | 27511 |
| 2 | Berat mati tambahan | MA | 356,72 | 2,0 | 178,36 | 713,44 |
| 3 | Beban jalur "D" | TD | 4342,92 | 1,8 | 1954,3 | 7817,3 |
| 4 | Beban pejalan kaki | TP | 51,86 | 1,8 | 23,34 | 93,35 |
| 5 | Beban angin | EW | 84,28 | 1,2 | 25,28 | 101,14 |
| | | | | | 9059,0 | 36236 |

Tulangan lentur kepala pilar bagian bawah,

Momen rencana ultimit, $M_u = 9059,0 \text{ kNm}$

Tinggi kepala pilar bawah, $h = 3000,0 \text{ mm}$

Jarak tulangan terhadap sisi luar beton, $d' = 100,0 \text{ mm}$

Modulus elastis baja, $= 200000 \text{ MPa}$

Faktor bentuk distribusi tegangan beton, $\beta_1 = 0,85$

$$\rho_b = \beta_1 \times 0,85 \times f_c' / f_y \times 600 / (600 + f_y) = 0,038$$

$$R_{max} = 0,75 \times \rho_b \times f_y \times [I - 1/2 \times 0,75 \times \rho_b \times f_y] / (0,85 \times f_c') = 9,20$$

Faktor reduksi kekuatan lentur, $\varphi = 0,8$

Tinggi efektif kepala pilar bawah, $d = h - d' = 2900,0 \text{ mm}$

Lebar kepala pilar bawah, $b = 3000,0 \text{ mm}$

$$\text{Momen nominal rencana, } M_n = M_u / \varphi = 11324 \text{ kNm}$$

$$\text{Faktor tahanan momen, } R_n = M_n \times 10^6 / (b \times d^2) = 0,449$$

(Rn < Rmax OK)

Rasio tulangan yang diperlukan :

$$\rho = 0.85 \times f_c' / f_y \times [1 - \sqrt{[1 - 2 \times R_n / (0.85 \times f_c')]}] = 0,001$$

$$\text{Rasio tulangan minimum, } \rho_{min} = 1.4 / f_y = 0,004$$

$$\text{Rasio tulangan yang digunakan, } \rho = 0,004$$

$$\text{Luas tulangan yang diperlukan, } A_s = \rho \times b \times d = 30450 \text{ mm}^2$$

$$\text{Diameter tulangan yang digunakan, } D = 32$$

$$\text{Jumlah tulangan yang diperlukan, } n = A_s / (\pi / 4 \times D^2) = 37,8$$

$$\text{Digunakan tulangan, } 40,00 \text{ D } 32$$

Untuk menjamin daktilitas struktur, maka rasio tulangan tekan diambil

50% dari tulangan tarik. Digunakan tulangan tekan 20,00 D 32

Tulangan geser kepala pilar bagian bawah,

$$\text{Gaya geser ultimit, } V_u = 36236 \text{ kN}$$

$$\text{Faktor reduksi kekuatan geser, } \varphi = 0,6$$

$$V_c = 1/6 \times (\sqrt{f_c'}) \times b \times d \times 10^{-3} = 8578 \text{ kN}$$

$$\text{Gaya geser yang ditahan beton } \varphi V_c = 5147 \text{ kN}$$

$V_u > V_c$ Perlu tulangan geser

$$\varphi V_s = V_u - \varphi V_c = 31089 \text{ kN}$$

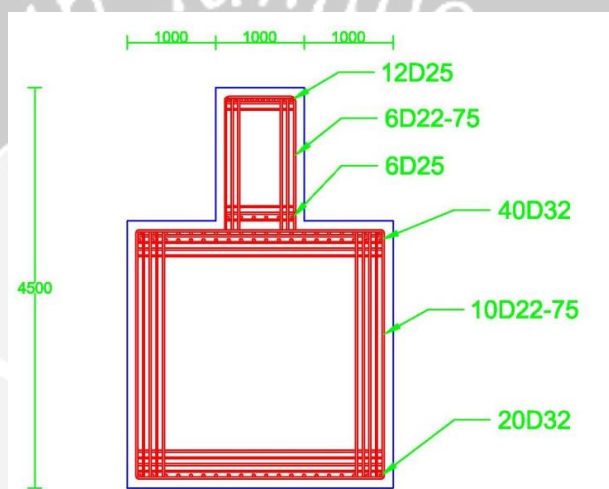
$$\text{Gaya geser yang ditahan oleh tulangan geser, } V_s = 51815 \text{ kN}$$

Diameter yang digunakan, $D = 22$, $n = 10$

Luas tulangan geser, $A_v = n \times \pi / 4 \times D^2 = 3803 \text{ mm}^2$

Jarak tulangan geser yang diperlukan $S = A_v \times f_y \times d/V = 85 \text{ mm}$

Digunakan sengkang, $10 \times D = 22 - 75$



Gambar 5.16 Detail Tulangan Struktur Kepala Pilar

5.4.2 Pilar

Luas total penampang pilar, $A_p = (b_2 \times b_8) + (b_4 \times b_8) = 15 \text{ m}^2$

Lebar ekivalen pilar, $B_e = A_p / b_8 = 5 \text{ m}$

Kontrol stabilitas pilar

1. Pengaruh berat struktur,

Berat sendiri struktur atas, $P_{MS\ atas} = 21162,26 \text{ kN}$

Beban mati tambahan, $P_{MA} = 356,72 \text{ kN}$

Berat kepala pilar, $W_{kp} = 4206,60 \text{ kN}$

Berat pilar, $W_p = 2340,00 \text{ kN}$

Berat total struktur atas, $W_a = 21518,98 \text{ kN}$
 Berat struktur bawah, $W_b = 5376,60 \text{ kN}$
 Perbandingan berat, $W_b / W_a = 24,99 \% > 20\%$

Tidak memerlukan analisis dinamik

2. Pengaruh P-Delta

Gaya aksial ultimit pilar, $P_u = 37377,1 \text{ kN}$
 Momen ultimit pilar, $M_u = 60128,9 \text{ kNm}$
 Inersia penampang pilar, $I_c = 1/12 \times b_e^4 = 52,1 \text{ m}^4$
 Modulus elastis beton, $E_c = 4700 \times \sqrt{f_c} = 27805,6 \text{ MPa}$
 $= 27805575 \text{ kPa}$
 Lendutan, $\Delta = M_u \times h_b^2 / (2 \times E_c \times I_c) = 0,0009 \text{ m}$
 Momen akibat pengaruh P-delta, $M_d = P_u \times \Delta = 32,8 \text{ kNm}$
 $5\% \times M_u = 3006,4 \text{ kNm}$

$M_d < 5\% \times M_u$, maka efek P-delta dapat diabaikan.

Tabel 5.35 Kontrol P-delta untuk Kombinasi Beban Ultimit

| Kombinasi Beban | P_u | M_{ux} | Δ | M_d | $5\% \times M_u$ | Keterangan |
|-------------------|---------|----------|----------|--------|------------------|------------------------|
| Kombinasi Beban 1 | 37440,0 | 12292,2 | 0,00018 | 6,7132 | 1872,0 | $M_d < 5\% \times M_u$ |
| Kombinasi Beban 2 | 37470,4 | 12292,2 | 0,00001 | 0,3578 | 1873,5 | $M_d < 5\% \times M_u$ |
| Kombinasi Beban 3 | 37440,0 | 59356,7 | 0,00005 | 1,7263 | 1872,0 | $M_d < 5\% \times M_u$ |
| Kombinasi Beban 4 | 37533,3 | 60128,9 | 0,00005 | 1,7532 | 1876,7 | $M_d < 5\% \times M_u$ |
| Kombinasi Beban 5 | 37377,1 | 53537,5 | 0,00023 | 8,4633 | 1868,9 | $M_d < 5\% \times M_u$ |

3. Pengaruh Buckling

Jari-jari inersia penampang pilar, $r = \sqrt{I_c/A} = 1,86 \text{ m}$

Faktor panjang tekuk (jepit-bebas), $K = 2,20$

Angka kelangsingan, $K x L_c / r = 7,67 < 22$

Pengaruh buckling dapat diabaikan

Tulangan tekan dan tarik pilar

$$\alpha = P_u / (f_c' x A)$$

$$\beta = M_u / (f_c' x A x h)$$

Tabel 5.36 Nilai α dan β berdasarkan kombinasi beban

| No | Kombinasi Beban | P_u | M_u | α | β |
|----|-----------------|---------|---------|----------|---------|
| | | kN | kNm | | |
| 1 | Kombinasi 1 | 37440,0 | 12292,2 | 0,071 | 0,009 |
| 2 | Kombinasi 2 | 37470,4 | 12292,2 | 0,071 | 0,009 |
| 3 | Kombinasi 3 | 37440,0 | 59356,7 | 0,071 | 0,045 |
| 4 | Kombinasi 4 | 37533,3 | 60128,9 | 0,071 | 0,046 |
| 5 | Kombinasi 5 | 37377,1 | 53537,5 | 0,071 | 0,041 |

Diperoleh rasio tulangan yang diperlukan, $\rho = 1,00\%$

Luas tulangan yang diperlukan, $A_s = \rho x A x 10^6 = 150000 \text{ mm}^2$

Diameter tulangan yang digunakan, $D = 32 \text{ mm}$

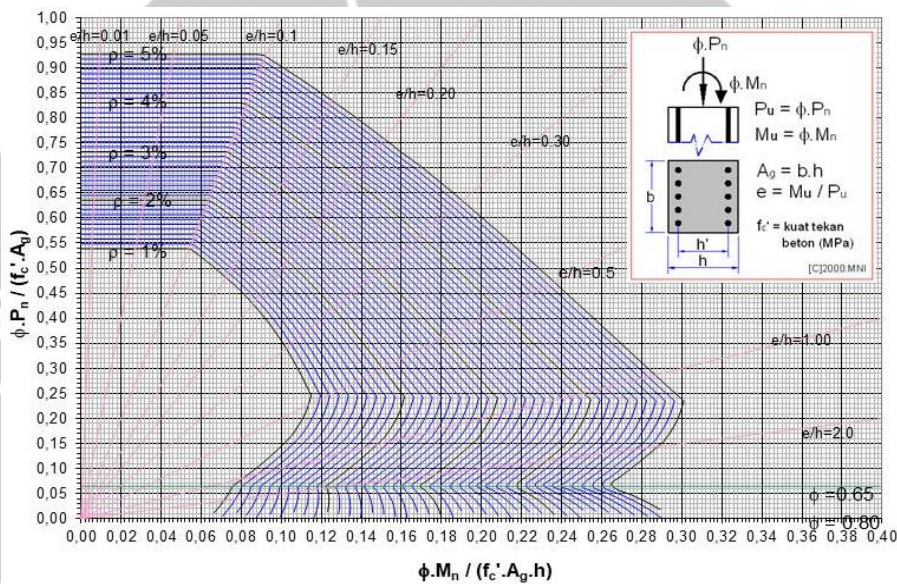
Jumlah tulangan yang diperlukan, $n = A_s / (\pi / 4 x D^2) = 186,43 \text{ buah}$

Digunakan tulangan, 188 D 32 untuk 2 pilar

Digunakan tulangan, 94 D 32 untuk 1 pilar

As terpakai, = 151259,43 mm²

Rasio tulangan yang total, $\rho = 1,01\%$



Gambar 5.17 Diagram Interaksi Kolom Segi Empat

Tulangan geser pilar arah memanjang jembatan

Lebar pilar arah memanjang, $b = 5,00 \text{ m} = 5000 \text{ mm}$

Tebal pilar arah memanjang, $h = 3,00 \text{ m} = 3000 \text{ mm}$

Tinggi pilar, $L = 6,50 \text{ m} = 6500 \text{ mm}$

Gaya aksial ultimit rencana, $P_u = 37377,1 \text{ kN}$

Momen ultimit rencana, $M_u = 60128,9 \text{ kNm}$

Faktor reduksi kekuatan geser, $\varphi = 0,6$

Luas tulangan longitudinal kolom pier, $A_s = 151259 \text{ mm}^2$

Jarak tulangan terhadap sisi luar beton, $d' = 100 \text{ mm}$

$$\text{Gaya geser ultimit akibat momen, } V_u = M_u / L = 9250,6 \text{ kN}$$

$$\text{Gaya geser ultimit akibat gaya lateral, } V_u = T_{ux} / B_e = 1238 \text{ kN}$$

$$\text{Maka diambil gaya geser ultimit rencana, } V_u = 9250,6 \text{ kN}$$

$$d = h - d' = 2900 \text{ mm}$$

$$V_{cmax} = 0,2 x f_c' x b x d x 10^{-3} = 101500 \text{ kN}$$

$$\text{Kontrol kapasitas geser penampang, } \varphi x V_{cmax} = 60900 \text{ kN}$$

$$\beta_1 = 1,4 - d / 2000 = -0,1 < 1$$

$$\text{maka diambil, } \beta_1 = 1,00$$

$$\beta_2 = 1 + P_u x 10^3 / (14 x f_c' x b x h) = 1,01$$

$$\beta_3 = 1,00$$

$$V_{uc} = \beta_1 x \beta_2 x \beta_3 x b x d x [A_s x f_c' / (b x d)]^{1/3} x 10 = 10416 \text{ kN}$$

$$V_c = V_{uc} + 0,6 x b x d = 10425 \text{ kN}$$

$$V_c = 0,3 x (\sqrt{f_c'}) x b x d x \sqrt{[1 + 0,3 x P_u / (b x d)]} = 22646 \text{ kN}$$

$$\text{diambil } V_c = 22646 \text{ kN}$$

$$\varphi V_c = 13587 \text{ kN}$$

$\varphi V_c > V_u$ hanya perlu tulangan geser minimum

$$\text{Gaya yang dipikul oleh tulangan geser, } V_s = V_u / \varphi = 15417,7 \text{ kN}$$

Untuk tulangan geser digunakan 8 D 19

$$\text{Luas tulangan geser, } A_{sv} = n x \pi / 4 x D^2 = 2269,14 \text{ mm}^2$$

Jarak tulangan geser yang diperlukan $Sx = A_{sv} x f_y x d / V_s = 170,73 \text{ mm}$

Digunakan tulangan geser, 8 D 19 - 150

Tulangan geser pilar arah melintang jembatan

$$\text{Lebar pilar arah melintang, } b = 3,00 \text{ m} = 3000 \text{ mm}$$

$$\text{Tebal pilar arah melintang, } h = 5,00 \text{ m} = 5000 \text{ mm}$$

$$\text{Tinggi pilar, } L = 6,50 \text{ m} = 6500 \text{ mm}$$

$$\text{Gaya aksial ultimit rencana, } P_u = 37377,1 \text{ kN}$$

$$\text{Momen ultimit rencana, } M_u = 53537,5 \text{ kNm}$$

$$\text{Faktor reduksi kekuatan geser, } \varphi = 0,6$$

$$\text{Luas tulangan longitudinal kolom pier, } A_s = 151259 \text{ mm}^2$$

$$\text{Jarak tulangan terhadap sisi luar beton, } d' = 100 \text{ mm}$$

$$\text{Gaya geser ultimit akibar momen, } V_u = M_u / L = 8236,5 \text{ kN}$$

$$\text{Gaya geser ultimit akibar gaya lateral, } V_u = T_{ux} / B_e = 1238 \text{ kN}$$

$$\text{Maka diambil gaya geser ultimit rencana, } V_u = 8236,5 \text{ kN}$$

$$d = h - d' = 4900 \text{ mm}$$

$$V_{cmax} = 0,2 x f_c' x b x d x 10^{-3} = 102900 \text{ kN}$$

$$\text{Kontrol kapasitas geser penampang, } \varphi x V_{cmax} = 61740 \text{ kN}$$

$$\beta_1 = 1,4 - d / 2000 = -1,1 < 1$$

$$\text{maka diambil, } \beta_1 = 1,00$$

$$\beta_2 = 1 + P_u x 10^3 / (14 x f_c' x b x h) = 1,01$$

$$\beta_3 = 1,00$$

$$V_{uc} = \beta_1 x \beta_2 x \beta_3 x b x d x [A_s x f_c' / (b x d)]^{1/3} x 10 = 10512 \text{ kN}$$

$$V_c = V_{uc} + 0,6 x b x d = 10521 \text{ kN}$$

$$V_c = 0,3 \times (\sqrt{f'_c}) \times b \times d \times \sqrt{[1 + 0,3 \times P_u / (b \times d)]} = 22801 \text{ kN}$$

diambil $V_c = 22801 \text{ kN}$

$$\varphi V_c = 13681 \text{ kN}$$

$\varphi V_c > V_u$ hanya perlu tulangan geser minimum

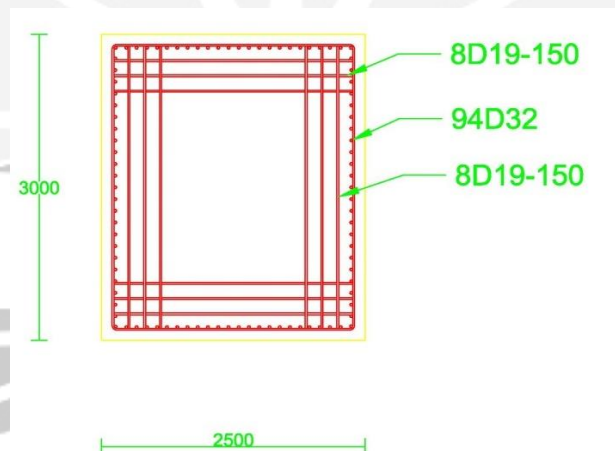
Gaya yang dipikul oleh tulangan geser, $V_s = V_u / \varphi = 13728 \text{ kN}$

Untuk tulangan geser digunakan 8 D 19

Luas tulangan geser, $A_{sv} = n \times \pi / 4 \times D^2 = 2269,14 \text{ mm}^2$

Jarak tulangan geser yang diperlukan $S_y = A_{sv} \times f_y \times d / V_s = 323,98 \text{ mm}$

Digunakan tulangan geser, 8 D 19 - 150



Gambar 5.18 Detail Tulangan Struktur Pilar

5.5 Perancangan Fondasi

5.5.1 Daya Dukung Aksial Ijin Tiang Bor

1. Berdasarkan kekuatan bahan

Diameter tiang bor, $D = 1,00 \text{ m}$

Panjang tiang bor, $L_p = L = 20,00 \text{ m}$

Tegangan ijin beton, $fc = 0,3 \times fc' \times 1000 = 10500 \text{ kN/m}^2$

Luas penampang tiang bor, $A = \pi / 4 \times D^2 = 0,7854 \text{ m}^2$

Berat tiang bor, $W = A \times L \times W_c = 376,99 \text{ kN}$

Daya dukung ijin tiang bor, $P_{ijin} = A \times fc - W = 7869,7 \text{ kN}$

2. Berdasarkan hasil pengujian SPT

$q_p = 40 \times N' \times A_p \text{ (ton/m}^2\text{) } , \text{ dimana } N' = \text{Nilai SPT terkoreksi}$

$q_b = 2 \times N' \times A_b \times l \text{ (ton/m}^2\text{)}$

$q_{ult} = q_p + q_b$

Luas penampang tiang bor, $A_p = 0,7854 \text{ m}^2$

Keliling penampang tiang bor, $A_b = 3,1416 \text{ m}$

Nilai SPT untuk daya dukung ujung, $N = 55$

Nilai SPT terkoreksi, $N' = 15 + 1/2 \times (N - 15) = 35$

$q_p = 1099,6 \text{ ton/m}^2 = 10996 \text{ kN/m}^2$

Nilai SPT untuk tahanan geser selimut, $N = 309$

Nilai SPT terkoreksi, $N' = 15 + 1/2 \times (N - 15) = 162$

$$q_p = 3883 \text{ ton/m}^2 = 38830 \text{ kN/m}^2$$

$$q_{ult} = q_p + q_b = 49826$$

Angka aman, $SF = 3$

Daya dukung ijin tiang bor, $P_{ijin} = q_{ult} / SF = 16608,6 \text{ kN}$

Jumlah baris tiang bor, $n_y = 5 \text{ buah}$

Jumlah tiang bor dalam satu baris $n_x = 5 \text{ buah}$

Jarak antara tiang bor, $Y = 4 \text{ m}$

$X = 4 \text{ m}$

Jarak antara tiang bor terkecil, $S = 4 \text{ m}$

Efisiensi kelompok tiang bor,

$$Ef = [2 \times (n_y + n_x - 2) \times S + 4 \times D] / (\pi \times D \times n_y \times n_x) = 0,87$$

$$P_{ijin} = P \times Ef = 6814 \text{ kN}$$

Daya dukung aksial ijin tiang bor diambil, $P_{ijin} = 6800 \text{ kN}$

5.5.2 Daya Dukung Lateral Ijin Tiang Bor

Kedalaman ujung tiang atas, $L_a = h_a = 2,0 \text{ m}$

Sudut gesek, $\phi = 30^\circ$

Panjang tiang bor, $L = 20 \text{ m}$

Panjang jepitan tiang bor, $L_d = 1/3 \times L = 6,67 \text{ m}$

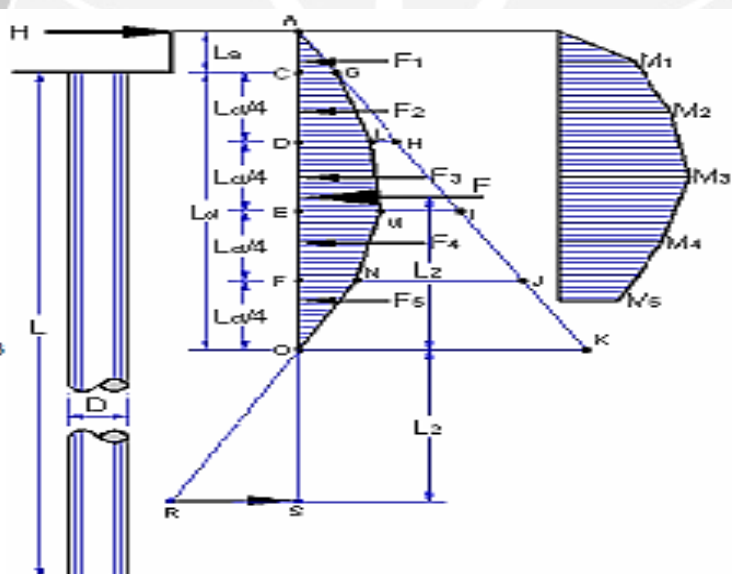
Berat volume tanah, $W_s = 18 \text{ kN/m}^3$

$B_y = 20 \text{ m}$

Koefisien tekanan tanah pasif, $K_p = \tan^2(45^\circ + \phi/2) = 3$

Tabel 5.37 Tekanan Tanah Pasif Efektif pada *Bored Pile*

| Bagian | Kedalaman | H | $H \times W_s \times K_p$ | Bagian | p |
|--------|------------------------|-----|---------------------------|--------------------------------------|-------------------|
| | | m | (kN/m ²) | | kN/m ² |
| O-K | $L_a + L_d$ | 8,7 | 468 | O | 0,00 |
| F-J | $L_a + 3/4 \times L_d$ | 7,0 | 378 | $1/4 \times H \times W_s \times K_p$ | 94,50 |
| E-I | $L_a + 1/2 \times L_d$ | 5,3 | 288 | $1/2 \times H \times W_s \times K_p$ | 144,00 |
| D-H | $L_a + 1/4 \times L_d$ | 3,7 | 198 | $3/4 \times H \times W_s \times K_p$ | 148,50 |
| C-G | L_a | 2,0 | 108 | $H \times W_s \times K_p$ | 108,00 |

**Gambar 5.19 Diagram Tekanan Tanah pada fondasi**

Tabel 5.38 Gaya dan Momen pada *Bored Pile*

| Kode | p_1 | p_2 | Panjang bagian | | F | Lengan terhadap O | M |
|------|-------------------|-------------------|----------------|-------|----------|-------------------|----------|
| | kN/m ² | kN/m ² | Notasi | m | kN | (m) | kNm |
| F1 | 0,00 | 108,00 | L_a | 2 | 2160,00 | 7,27 | 15696,00 |
| F2 | 108,00 | 148,50 | $L_d/4$ | 1,67 | 4275,00 | 5,83 | 24937,50 |
| F3 | 148,50 | 144,00 | $L_d/4$ | 1,67 | 4875,00 | 4,17 | 20312,50 |
| F4 | 144,00 | 94,50 | $L_d/4$ | 1,67 | 3975,00 | 2,50 | 9937,50 |
| F5 | 94,50 | 0,00 | $L_d/4$ | 1,67 | 1575,00 | 1,12 | 1758,75 |
| | | | | $F =$ | 16860,00 | $M =$ | 72642,25 |

$$L_2 = M/F = 4,31 \text{ m}$$

Jumlah momen terhadap titik S $\Sigma M_s = 0$,

$$\text{Maka } Fx(2 \times L_2) = Hx(L_2 + L_d + L_a)$$

$$\text{Gaya lateral, } H = Fx(2 \times L_2)/(L_2 + L_d + L_a) = 11197 \text{ kN}$$

$$\text{Gaya lateral satu tiang bor, } h = H/(n_x \times n_y) = 447,88 \text{ kN}$$

$$\text{Angka aman, } SF = 1,20$$

$$\text{Daya dukung lateral ijin tiang bor, } h_{ijin} = h/SF = 373,24 \text{ kN}$$

$$\text{Diambil daya dukung lateral ijin tiang bor, } h_{ijin} = 373 \text{ kN}$$

5.5.3 Momen Pada Tiang Bor Akibat Gaya Lateral

$$\text{Beban maksimum pada bored pile, } P_{max} = P_{ijin} = 6800 \text{ kN}$$

$$\text{Kedalaman } bored \text{ pile}, \quad Z = L_a + L = 22000 \text{ mm}$$

$$\text{Diameter } bored \text{ pile}, \quad D = 1000 \text{ mm}$$

$$\text{Modulus elastik beton}, \quad E_c = 4700 \times \sqrt{f_c'} = 27806 \text{ MPa}$$

$$\text{Momen Inersia penampang tiang bor}, \quad I_c = \pi/64 \times D^4 = 5E+10 \text{ mm}^4$$

$$\text{Untuk tanah berpasir maka nilai}, \quad kl = 550 \text{ MPa}$$

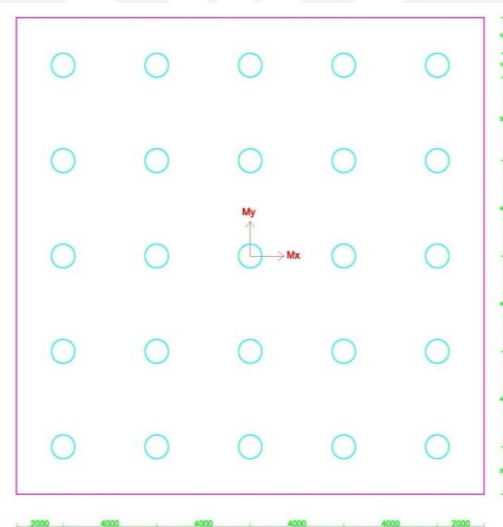
$$K = kl \times Z/D = 12100 \text{ MPa}$$

$$\lambda = 40 \sqrt{[D \times K / (4 \times E_c \times I_c)]} = 0,0019$$

$$\text{Eksentrisitas}, \quad e = 0,322 / \lambda = 0,17 \text{ m}$$

$$\text{Momen maksimum pada tiang bor}, \quad M_{max} = P_{max} \times e = 1162,8 \text{ kNm}$$

5.5.4 Gaya yang diterima tiang bor



Gambar 5.20 Sketsa Susunan *Bored pile*

Tabel 5.39 Statis Momen Kelompok bored Pile

| X m | X ² m ² | n | ΣX ² | Y(m) | Y ² | n | ΣY ² |
|----------------|----------------------------------|---|-----------------|----------------|----------------|---|-----------------|
| | | | m ² | m | m ² | | m ² |
| 8 | 64 | 5 | 320 | 8 | 64 | 5 | 320 |
| 4 | 16 | 5 | 80 | 4 | 16 | 5 | 80 |
| 0 | 0 | 5 | 0 | 0 | 0 | 5 | 0 |
| 4 | 16 | 5 | 80 | 4 | 16 | 5 | 80 |
| 8 | 64 | 5 | 320 | 8 | 64 | 5 | 320 |
| $\Sigma X^2 =$ | | | 800 | $\Sigma Y^2 =$ | | | 800 |

5.5.5 Tinjauan terhadap kombinasi beban arah X

$$P_u = P/n + M_x x X / \Sigma X^2$$

$$n = 25$$

Tabel 5.40 Gaya Aksial pada bored Pile Akibat Beban Arah X

| Kombinasi Beban | P | M _x | P/n | M _x x X/ΣX ² | P _u |
|--------------------|----------|----------------|---------|------------------------------------|----------------|
| | kN | kNm | kN | kN | kN |
| Kombinasi -1 | 63340,36 | 13747,50 | 2533,61 | 137,48 | 2671,09 |
| Kombinasi-2 | 63365,57 | 13747,50 | 2534,62 | 137,48 | 2672,10 |
| Kombinasi-3 | 63340,36 | 55477,59 | 2533,61 | 554,78 | 3088,39 |

Lanjutan Tabel 5.40

| Kombinasi Beban | <i>P</i> | <i>M_x</i> | <i>P/n</i> | <i>M_x x X/ΣX²</i> | <i>P_u</i> |
|-----------------|----------|----------------------|------------|---|----------------------|
| | kN | kNm | kN | kN | kN |
| Kombinasi-4 | 63433,71 | 56355,09 | 2537,35 | 563,55 | 3100,90 |
| Kombinasi-5 | 55454,96 | 67583,00 | 2218,20 | 675,83 | 2894,03 |

5.5.6 Tinjauan terhadap kombinasi beban arah Y

$$P_u = P/n + M_y x Y/\Sigma Y^2$$

$$n = 25$$

Tabel 5.41 Gaya Aksial pada Bored Pile Akibat Beban Arah Y

| Kombinasi Beban | <i>P</i> | <i>M_y</i> | <i>P/n</i> | <i>M_y x Y/ΣY²</i> | <i>P_u</i> |
|-----------------|----------|----------------------|------------|---|----------------------|
| | kN | kNm | kN | kN | kN |
| Kombinasi -1 | 63340,36 | 992,04 | 2533,61 | 9,92 | 2543,53 |
| Kombinasi-2 | 63365,57 | 0,00 | 2534,62 | 0,00 | 2534,62 |
| Kombinasi-3 | 63340,36 | 992,04 | 2533,61 | 9,92 | 2543,53 |
| Kombinasi-4 | 63433,71 | 992,04 | 2537,35 | 9,92 | 2547,27 |
| Kombinasi-5 | 55454,96 | 67583,00 | 2218,20 | 675,83 | 2894,03 |

5.5.7 Gaya lateral pada tiang bor

$$\text{Gaya lateral yang diderita satu tiang bor, } h = T/n$$

$$n = 25$$

Tabel 5.42 Gaya Lateral pada *Bored Pile*

| Kombinasi Beban | T_x | T_y | h_x | h_y | h_{max} |
|-----------------|---------|---------|--------|--------|-----------|
| | kN | kN | kN | kN | kN |
| Kombinasi -1 | 970,20 | 109,57 | 38,81 | 4,38 | 38,81 |
| Kombinasi-2 | 970,20 | 0,00 | 38,81 | 0,00 | 38,81 |
| Kombinasi-3 | 4773,42 | 109,57 | 190,94 | 4,38 | 190,94 |
| Kombinasi-4 | 4843,62 | 109,57 | 193,74 | 4,38 | 193,74 |
| Kombinasi-5 | 9363,66 | 9363,66 | 374,55 | 374,55 | 374,55 |

5.5.8 Kontrol daya dukung ijin tiang bor

Tabel 5.43 Cek Keamanan *Bored Pile* terhadap Gaya Aksial Arah X

| Kombinasi Beban | P_{ijin} | P_u | Kontrol terhadap Daya Dukung Ijin | P_{ijin} | Keterangan |
|-----------------|------------|---------|-----------------------------------|------------|------------|
| | % | kN | | kN | |
| Kombinasi -1 | 100% | 2671,09 | $< 100\% \times P_{ijin} =$ | 6800 | AMAN |
| Kombinasi-2 | 125% | 2672,10 | $< 125\% \times P_{ijin} =$ | 8500 | AMAN |
| Kombinasi-3 | 140% | 3088,39 | $< 140\% \times P_{ijin} =$ | 9520 | AMAN |
| Kombinasi-4 | 140% | 3100,90 | $< 140\% \times P_{ijin} =$ | 9520 | AMAN |
| Kombinasi-5 | 150% | 2894,03 | $< 150\% \times P_{ijin} =$ | 10200 | AMAN |

Tabel 5.44 Cek Keamanan *Bored Pile* terhadap Gaya Aksial Arah Y

| Kombinasi Beban | P_{ijin} | P_u | Kontrol terhadap Daya Dukung Ijin | P_{ijin} | Keterangan |
|-----------------|------------|---------|-----------------------------------|------------|------------|
| | % | kN | | kN | |
| Kombinasi -1 | 100% | 2543,53 | $< 100\% \times P_{ijin} =$ | 6800 | AMAN |
| Kombinasi-2 | 125% | 2534,62 | $< 125\% \times P_{ijin} =$ | 8500 | AMAN |
| Kombinasi-3 | 140% | 2543,53 | $< 140\% \times P_{ijin} =$ | 9520 | AMAN |
| Kombinasi-4 | 140% | 2547,27 | $< 140\% \times P_{ijin} =$ | 9520 | AMAN |
| Kombinasi-5 | 150% | 2894,03 | $< 150\% \times P_{ijin} =$ | 10200 | AMAN |

Tabel 5.45 Cek Keamanan *Bored Pile* terhadap Gaya Lateral

| Kombinasi Beban | h_{ijin} | h_{max} | Kontrol terhadap Daya Dukung Ijin | h_{ijin} | Keterangan |
|-----------------|------------|-----------|-----------------------------------|------------|------------|
| | % | kN | | kN | |
| Kombinasi -1 | 100% | 38,81 | $< 100\% \times P_{ijin} =$ | 373 | AMAN |
| Kombinasi-2 | 125% | 38,81 | $< 125\% \times P_{ijin} =$ | 466 | AMAN |
| Kombinasi-3 | 140% | 190,94 | $< 140\% \times P_{ijin} =$ | 522 | AMAN |
| Kombinasi-4 | 140% | 193,74 | $< 140\% \times P_{ijin} =$ | 522 | AMAN |
| Kombinasi-5 | 150% | 374,55 | $< 150\% \times P_{ijin} =$ | 560 | AMAN |

5.5.9. Pembesian *bored pile*

1. Tulangan longitudinal tekan lentur

Gaya aksial maksimum tiang bor, $P_{max} = P_{ijin} = 6800 \text{ kN}$

Momen maksimum pada tiang bor, $M_{max} = 1162,8 \text{ kNm}$

Faktor reduksi kekuatan lentur, $\varphi = 0,8$

Faktor beban ultimit, $K = 1,5$

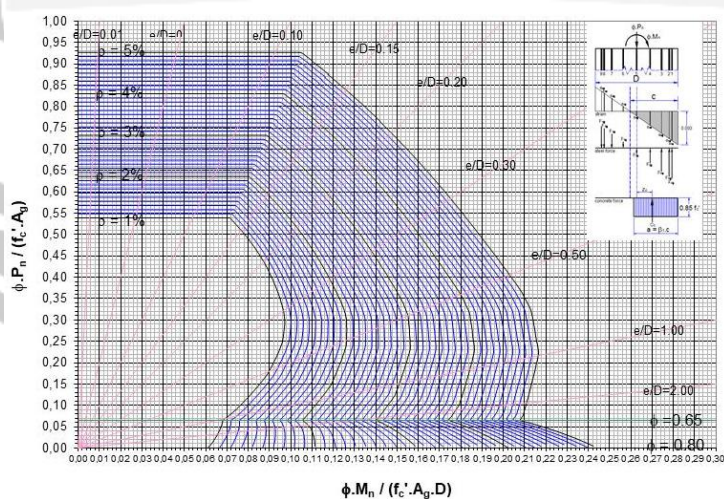
Gaya aksial ultimit, $P_u = \varphi P_n = K \times \varphi \times P_{max} = 8160 \text{ kN}$

Momen ultimit, $M_u = \varphi M_n = K \times \varphi \times M_{max} = 1395,3 \text{ kNm}$

Luas penampang *bored pile*, $A = 785398 \text{ mm}^2$

$$\varphi P_n / (f_c' \times A) = 0,30$$

$$\varphi M_n / (f_c' \times A \times D) = 0,05$$



Gambar 5.21 Diagram Interaksi Kolom Lingkaran

Plot ke diagram interaksi kolom lingkaran.

$$\text{diperoleh, } \rho = 1\%$$

$$\text{Luas tulangan yang diperlukan, } A_s = \rho \times A = 7853,9816 \text{ mm}^2$$

$$\text{Digunakan diameter tulangan, } D = 19 \text{ mm}$$

$$\text{Luas tulangan yang digunakan, } A = \pi / 4 \times D^2 = 283,52874 \text{ mm}^2$$

$$\text{Jumlah tulangan yang diperlukan, } n = 28 \text{ buah}$$

$$\text{Digunakan tulangan } 28 \text{ D } 19$$

2. Tulangan geser

$$\text{Panjang } bored pile, L = 20000 \text{ mm}$$

$$\text{Diameter } bored pile, D = 1000 \text{ mm}$$

$$\text{Luas tulangan } bored pile, A_s = 7854 \text{ mm}^2$$

$$\begin{aligned} \text{Gaya aksial ultimit, } P_u &= 8160 \text{ kN} \\ &= 8160000 \text{ N} \end{aligned}$$

$$\begin{aligned} \text{Momen ultimit, } M_u &= 1395,3 \text{ kNm} \\ &= 1,395E+09 \text{ Nmm} \end{aligned}$$

$$\begin{aligned} \text{Gaya lateral ijin, } h_{ijin} &= 373 \text{ kN} \\ &= 373000 \text{ N} \end{aligned}$$

$$\text{Faktor reduksi kekuatan geser, } \varphi = 0,6$$

$$\text{Gaya geser ultimit akibat momen, } V_u = M_u / L = 69766 \text{ N}$$

Akibat gaya lateral, $V_u = Kx h_{ijin} = 559500 \text{ N}$

Ambil gaya geser ultimit yang lebih besar, $V_u = 559500 \text{ N}$

Jarak tulangan terhadap sisi luar beton, $d' = 100 \text{ mm}$

Luas penampang tiang bor, $A = 785398 \text{ mm}^2$

Tebal ekivalen penampang, $h = \sqrt{A} = 886,23 \text{ mm}$

Lebar penampang ekivalen, $b = h = 886,23 \text{ mm}$

Tebal efektif, $d = h - d' = 786,23 \text{ mm}$

$$V_c = [1 + P_u / (14 \times A)] \times [(\sqrt{f_c}) / 6 \times b \times d] = 1349117,9 \text{ N}$$

$V_c > V_u$ hanya perlu tulangan geser minimum

Gaya yang dipikul oleh tulangan geser, $V_s = V_u / \varphi = 932500 \text{ N}$

Untuk tulangan geser digunakan, 2 D 16

Luas tulangan sengkang, $A_{sv} = 402,12 \text{ mm}^2$

Jarak tulangan perlu, $S = A_{sv} \times f_y \times d / V_s = 135,62 \text{ mm}$

Digunakan sengkang, 2 D 16 - 125



Gambar 5.22 Detail Tulangan Struktur *Bored pile*

5.4.10 Pembesian *pile cap*

Momen dan gaya geser pada *pile cap* akibat reaksi tiang,

$$X_1 = 8,00 \text{ m} \quad \Sigma X^2 = 800 \text{ m}^2 \quad n = 25 \text{ buah}$$

$$X_2 = 4,00 \text{ m} \quad h = 1,50 \text{ m} \quad n_y = 5,00 \text{ buah}$$

$$X_3 = 0,00 \text{ m}$$

Gaya aksial ultimit yang diderita satu tiang bor:

$$P_i = P_u / n + M_{ux} x X_i / \Sigma X^2$$

Tabel 5.46 Gaya Aksial Ultimit yang Diterima Satu Tiang Bor

| Kombinasi Beban | P_u | M_u | P_1 | P_2 | P_3 |
|-----------------|----------|----------|---------|---------|---------|
| | kN | kNm | kN | kN | kN |
| Kombinasi -1 | 63340,36 | 13747,50 | 2671,09 | 2602,35 | 2533,61 |
| Kombinasi -2 | 63365,57 | 13747,50 | 2672,10 | 2603,36 | 2534,62 |
| Kombinasi -3 | 63340,36 | 55477,59 | 3088,39 | 2811,00 | 2533,61 |
| Kombinasi -4 | 63433,71 | 56355,09 | 3100,90 | 2819,12 | 2537,35 |
| Kombinasi -5 | 55454,96 | 67583,00 | 2894,03 | 2556,11 | 2218,20 |

Momen ultimit pile cap akibat reaksi tiang, $M_{up} = \Sigma [n_y x P_i x (X_i - h/2)]$

Gaya geser ultimit pile cap akibat reaksi tiang $V_{up} = \Sigma [n_y x P_i]$

Tabel 5.47 Momen dan gaya geser pada pile cap akibat reaksi tiang

| X_i | $X_i - h/2$ | P_i | $n_y \times p_i$ | M_{upi} |
|-------|-------------|-------|------------------|-----------|
| m | m | kN | kN | kNm |
| 8,00 | 7,25 | 3101 | 15504,50 | 112407,60 |
| 4,00 | 3,25 | 2819 | 14095,62 | 45810,76 |
| 0,00 | -0,75 | | | |
| | | | 29600,11 | 158218,36 |

Gaya ultimit maksimum (rencana) tiang bor, $P_{max} = 3100,90 \text{ kN}$

Momen dan gaya geser akibat berat sendiri *pile cap*,

$$\text{Berat}, \quad W = 14400 \text{ kN}$$

$$\text{Lengan}, \quad X_w = 0,75 \text{ m}$$

$$\text{Momen}, \quad M_s = 10800 \text{ kNm}$$

$$\text{Faktor beban ultimit}, \quad K = 1,3$$

$$\text{Momen ultimit akibat berat } pile cap, M_{us} = K \times M_s = 14040 \text{ kNm}$$

$$\text{Gaya geser akibat berat } pile cap, V_{us} = K \times W = 18720 \text{ kN}$$

Momen dan gaya geser ultimit rencana *pile cap*,

$$\text{Momen ultimit rencana } pile cap, M_{ur} = M_{up} - M_{us} = 144178 \text{ kNm}$$

$$\text{Lebar } pile cap, B_y = 20 \text{ m}$$

$$\text{Momen ultimit per meter lebar}, M_u = M_{ur}/B_y = 7208,9 \text{ kNm}$$

$$\text{Gaya geser rencana}, V_{ur} = V_{up} - V_{us} = 15200 \text{ kN}$$

Gaya geser ultimit per meter lebar, $V_u = V_{ur} / B_y = 760,01 \text{ kN}$

1. Tulangan lentur

Momen rencana ultimit, $M_u = 7208,9 \text{ kNm}$

Tebal *pile cap*, $h = 1500 \text{ mm}$

Jarak tulangan terhadap sisi luar beton, $d' = 100 \text{ mm}$

Modulus elastisitas baja, $E_s = 200000 \text{ MPa}$

Faktor distribusi tegangan leleh beton, $\beta_1 = 0,85$

$$\rho_b = \beta_1 \times 0,85 \times f_c' / f_y \times 600 / (600 + f_y) = 0,038$$

$$R_{max} = 0,75 \times \rho_b \times f_y \times [1 - 1/2 \times 0,75 \times \rho_b \times f_y / (0,85 \times f_c')] = 9,203$$

Faktor reduksi kekuatan lentur, $\phi = 0,8$

Tebal efektif, $d = h - d' = 1400 \text{ mm}$

Lebar *pile cap* yang ditinjau, $b = 1000 \text{ mm}$

Momen nominal rencana, $M_n = M_u / \phi = 9011,1 \text{ kNm}$

Faktor tahanan momen, $R_n = M_n \times 10^6 / (b \times d^2) = 4,5975$

($R_n < R_{max}$ OK)

Rasio tulangan yang diperlukan,

$$\rho = 0,85 \times f_c' / f_y \times [1 - \sqrt{[1 - 2 \times R_n / (0,85 \times f_c')]}] = 0,013$$

Rasio tulangan minimum, $\rho_{min} = 25\% \times 1,4/f_y = 0,001$

Rasio tulangan yang digunakan, $\rho = 0,013$

Luas tulangan yang diperlukan, $A_s = \rho x b x d = 17574 \text{ mm}^2$

Diameter tulangan yang digunakan, $2 D = 25$

Jarak tul. perlu, $S = n x \pi/4 x D^2 x b / A_s = 55,862 \text{ mm}$

Digunakan tulangan, $2 D = 25 - 50$

$$A_s = \pi/4 x D^2 x b / S = 9817,5 \text{ mm}^2$$

Untuk tulangan bagi diambil 50% tulangan pokok,

$$A_s' = 50\% x A_s = 4908,7 \text{ mm}^2$$

Diameter tulangan yang digunakan, $D = 25$

Jarak tul. perlu, $S = \pi/4 x D^2 x b / A_s = 100 \text{ mm}$

Digunakan tulangan, $D = 25 - 50$

2. Tulangan geser

Gaya geser ultimit, $V_u = 760006 \text{ N}$

Faktor reduksi kekuatan geser, $\varphi = 0,6$

Kapasitas geser ultimit, $V_{ucmax} = 0,5 x \varphi x \sqrt{f_c} x b x d = 2484753,5 \text{ N}$

$V_u < V_{ucmax}$ dimensi aman terhadap geser

$$Vc = 1/6 x (\sqrt{f_c}) x b x d = 1E+06 \text{ N}$$

Gaya geser yang ditahan beton $\phi x V_c = 828251 \text{ N}$

$\phi V_c > V_u$ hanya tulangan geser minimum

Gaya geser yang ditahan tulangan $V_s = V_u / \varphi = 1266676,2 \text{ N}$

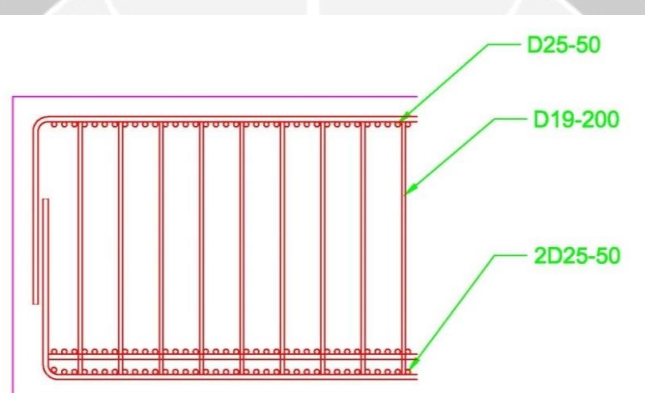
Diameter tulangan yang digunakan, $D = 19$

Ambil jarak arah Y, $S_y = 200 \text{ mm}$

Luas tulangan geser, $A_v = \pi / 4 \times D^2 \times b / S_y = 1417,6 \text{ mm}^2$

Jarak tul.geser perlu arah X, $S_x = A_v \times f_y \times d / V_s = 626,74 \text{ mm}$

Digunakan tulangan, $D = 19 - S_x = 200 \text{ mm}$
 $S_y = 200 \text{ mm}$



Gambar 5.23 Detail Tulangan *Pile Cap*

5.5.11 Kontrol terhadap geser pons

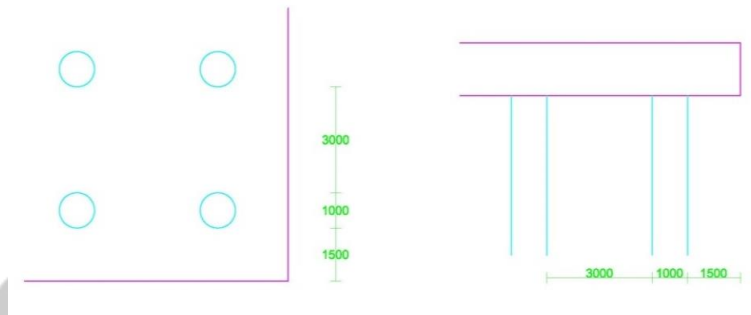
Kuat geser pons yang diisyaratkan, $f_v = 0,3 \times \sqrt{f_c'} = 1,77 \text{ MPa}$

Faktor reduksi kekuatan geser, $\varphi = 0,6$

Jarak antara tiang bor arah X, $X = 4000 \text{ m}$

Jarak antara tiang bor arah Y, $Y = 4000 \text{ m}$

Jarak tiang bor terhadap tepi *pile cap*, $a = 1500 \text{ m}$



Gambar 5.24 Tinjauan Geser Pons

$$r = X/2 = 2000 \text{ m}$$

$$r = Y/2 = 2000 \text{ m} \text{ maka diambil, } r = 2000 \text{ mm}$$

$$h_a = h_p = 1500 \text{ mm}$$

$$b_7 = L_t = 8500 \text{ mm}$$

$$\text{Tebal bidang kritis geser pons, } h = h_p + (r+a)/L_t = 1500 \text{ mm}$$

$$\text{Tebal efektif bidang kritis, } d = h - d' = 1400 \text{ mm}$$

$$\text{Panjang total bidang kritis, } L_v = 2 \times (r+a) + \pi/2xr = 10142 \text{ mm}$$

$$\text{Luas bidang kritis, } A_v = L_v \times h = 1,52E+07 \text{ mm}^2$$

$$\text{Gaya geser pons nominal, } P_n = A_v \times f_v = 27006724 \text{ N}$$

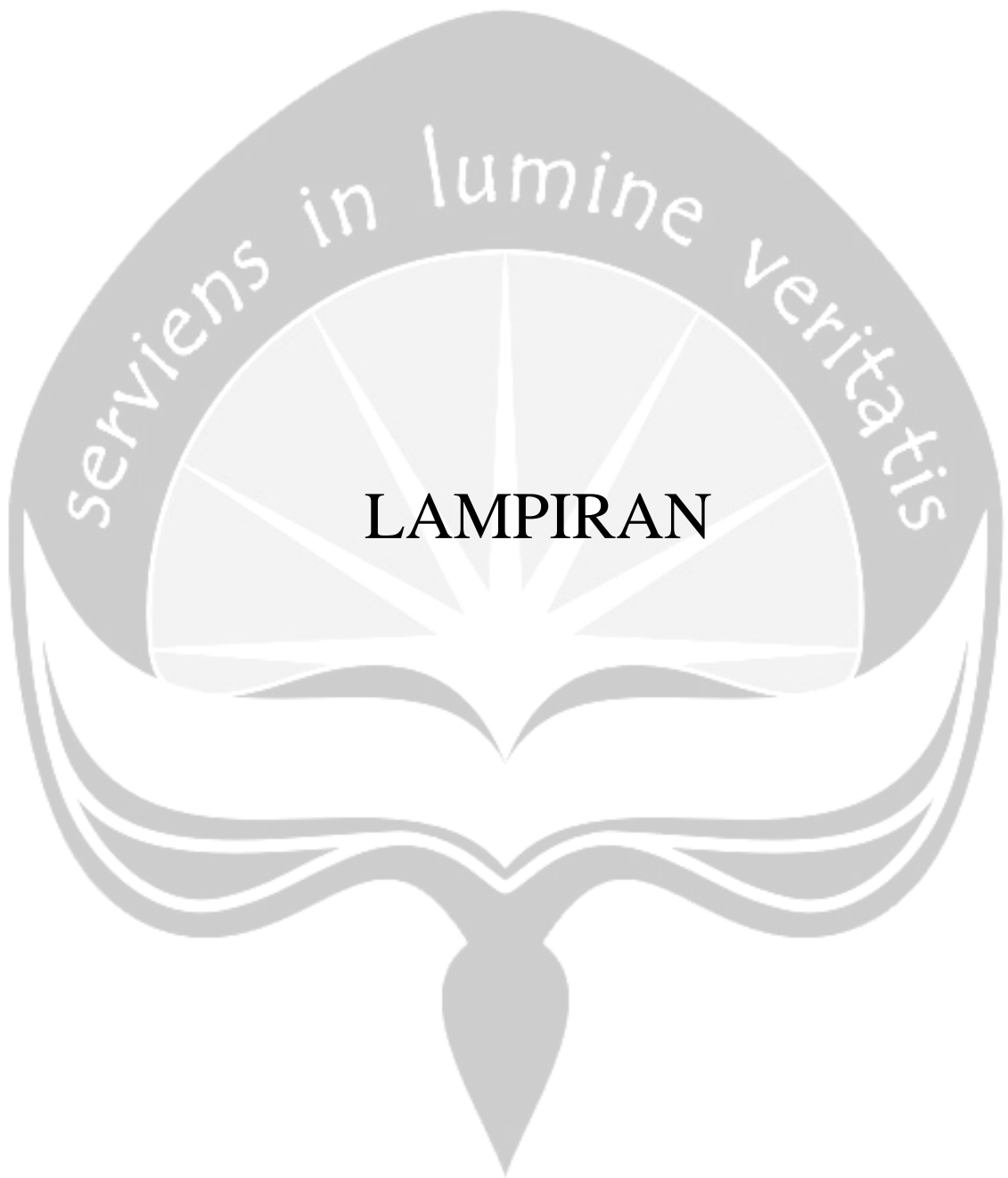
$$\text{Kapasitas Geser Pons, } \varphi \times P_n = 16204 \text{ kN}$$

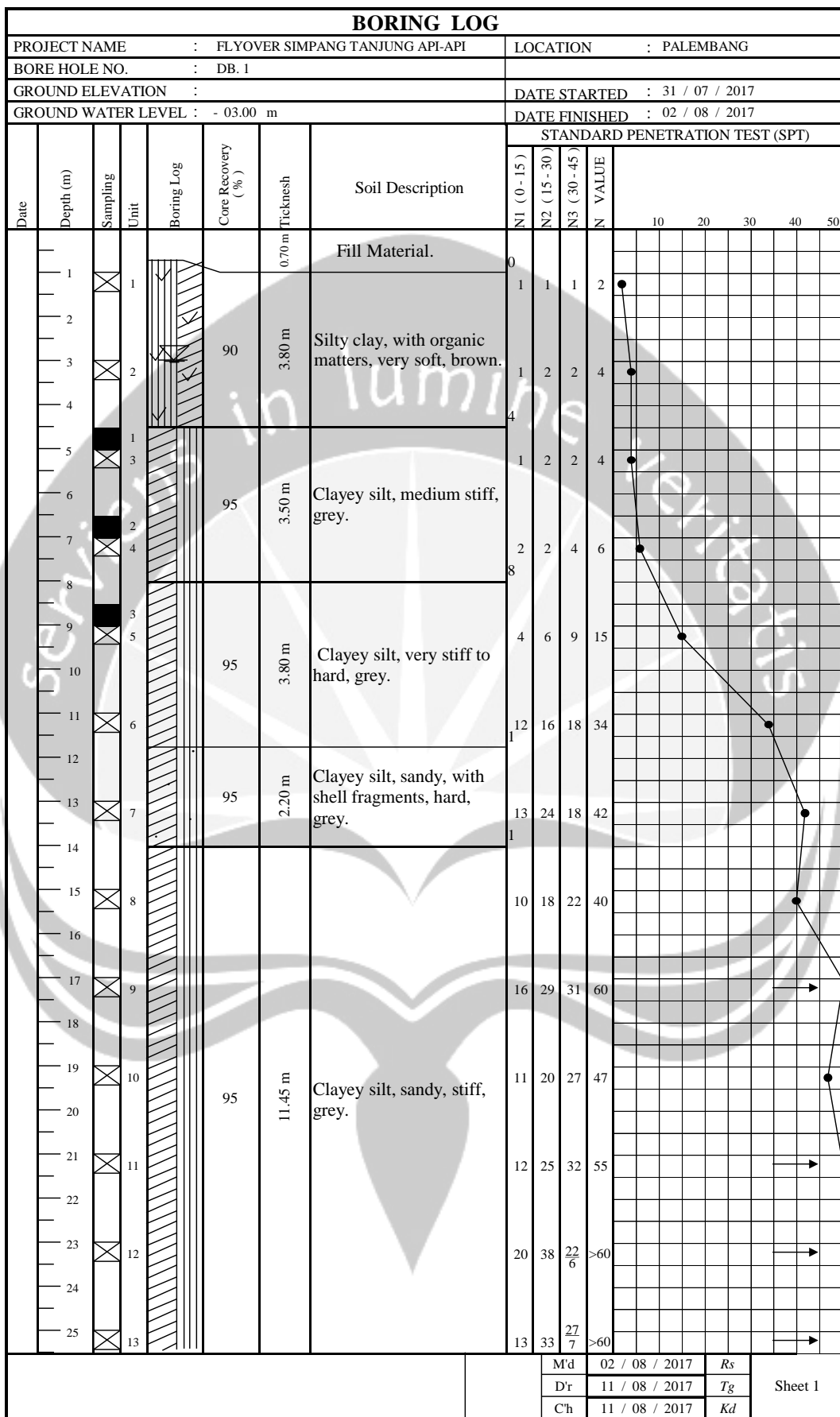
$$\text{Reaksi ultimit satu tiang bor, } P = 6800 \text{ kN}$$

$$\varphi P_n > P \text{ AMAN}$$

DAFTAR PUSTAKA

- Marga, Bina. 1992. *Peraturan Perancangan Teknik Jembatan*. Jakarta: Direktorat Jendral Bina Marga.
- Pamungkas, A., dan Harianti, 2013, *Desain Pondasi Tahan Gempa*, Penerbit Andi, Yogyakarta
- Sasikirana, Antonius W.A., 2017, *Perancangan Struktur Atas Fly Over Simpang Bandara-Tanjung Api-Api Dengan Struktur Precast Concrete (PCU) Girder*. Falkutas Teknik, Universitas Atma Jaya Yogyakarta
- Struyk, H.J., dan K.H.C.W. van der Veen, 1984, *Jembatan*, Penerbit Pradnya Paramita, Jakarta.
- Sub Panitia Teknik Standarisasi Bidang Prasarana Transportasi, 2004, *Perencanaan Struktur Beton Untuk Jembatan (RSNI T-12-2004)*, Badan Standarisasi Nasional.
- Sub Panitia Teknik Standardisasi Bidang Prasarana Transportasi, 2005, *Standar Pembebaran Untuk Jembatan (RSNI T-02-2005)*, Badan Standardisasi Nasional.
- Sub Panitia Teknik Standardisasi Bidang Prasarana Transportasi, 2016, *Pembebaran Untuk Jembatan (SNI 1725:2016)*, Badan Standardisasi Nasional.
- Supriyadi, B., dan Muntohar, A.S., 2007, *Jembatan*, Penerbit Beta Offset, Yogyakarta.
- Umum, D. P. (1987). *Pedoman Perencanaan Pembebaran Jembatan Jalan Raya*. Jakarta: Yayasan Badan Penerbit PU.







PROGRAM STUDI TEKNIK SIPIL
FAKULTAS TEKNIK
UNIVERSITAS ATMA JAYA
YOGYAKARTA

Judul Tugas Akhir :

PERANCANGAN STRUKTUR BAWAH PADA
FLY OVER SIMPANG BANDARA-TANJUNG
API-API

Judul Gambar :

Perspektif Struktur Bawah 3D

Skala :

1 : 125

Dibuat Oleh :

Yoanes Mario Adianto
(140215692)

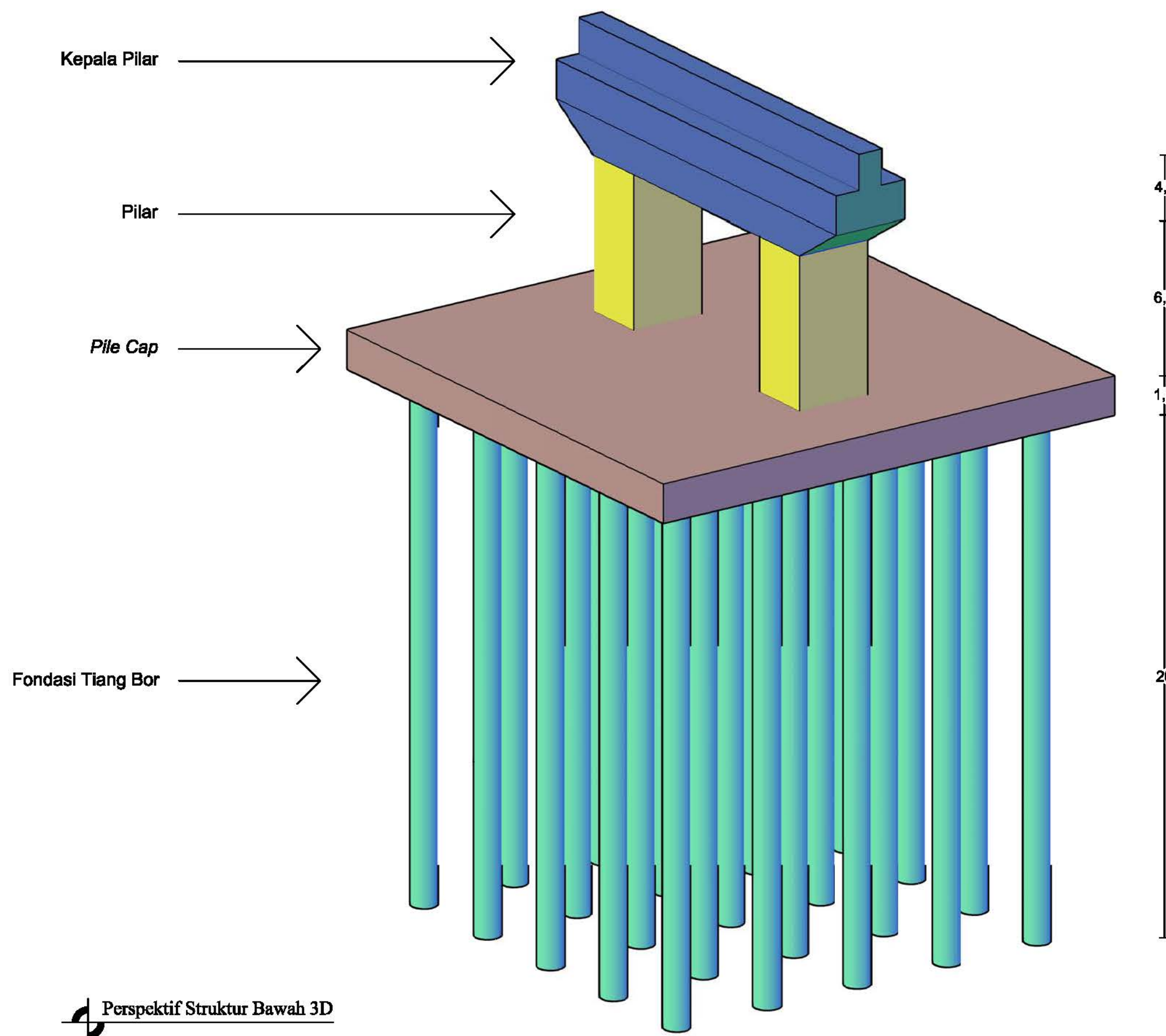
Dosen Pembimbing :

FX. Pranoto Dirham Putra, ST.,MURP.

LAMPIRAN

HALAMAN :

95





PROGRAM STUDI TEKNIK SIPIL
FAKULTAS TEKNIK
UNIVERSITAS ATMA JAYA
YOGYAKARTA

Judul Tugas Akhir :

PERANCANGAN STRUKTUR BAWAH PADA
FLY OVER SIMPANG BANDARA-TANJUNG
API-API

Judul Gambar :

Denah Lokasi

Skala :

1 : 200

Dibuat Oleh :

Yoanes Mario Adianto
(140215692)

Dosen Pembimbing :

FX. Pranoto Dirham Putra, ST.,MURP.

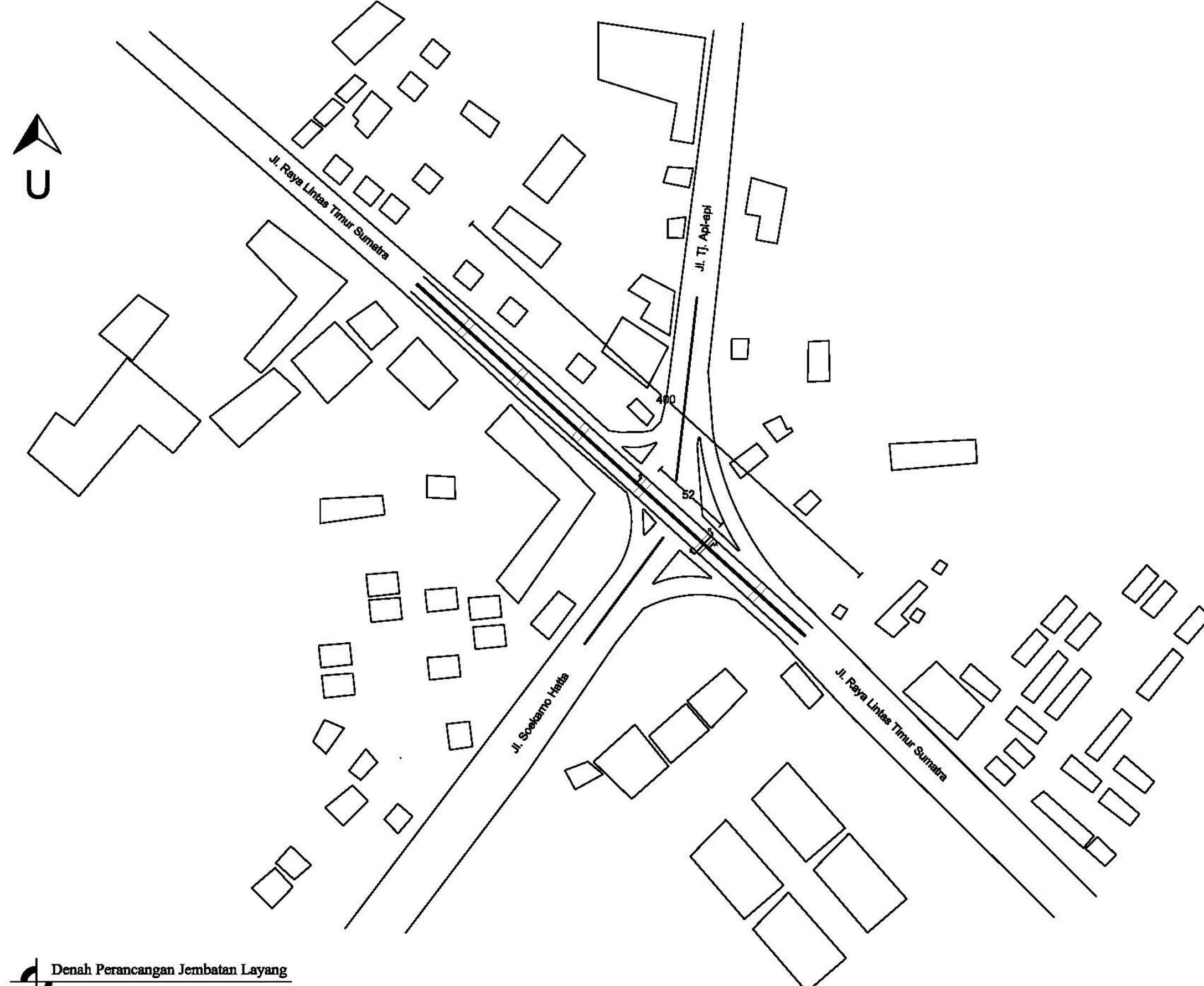
LAMPIRAN

HALAMAN :

96



Denah Perancangan Jembatan Layang





PROGRAM STUDI TEKNIK SIPIL
FAKULTAS TEKNIK
UNIVERSITAS ATMA JAYA
YOGYAKARTA

Judul Tugas Akhir :

PERANCANGAN STRUKTUR BAWAH PADA
FLY OVER SIMPANG BANDARA-TANJUNG
API-API

Judul Gambar :

Potongan A-A

Skala :

1 : 160

Dibuat Oleh :

Yoanes Mario Adianto
(140215692)

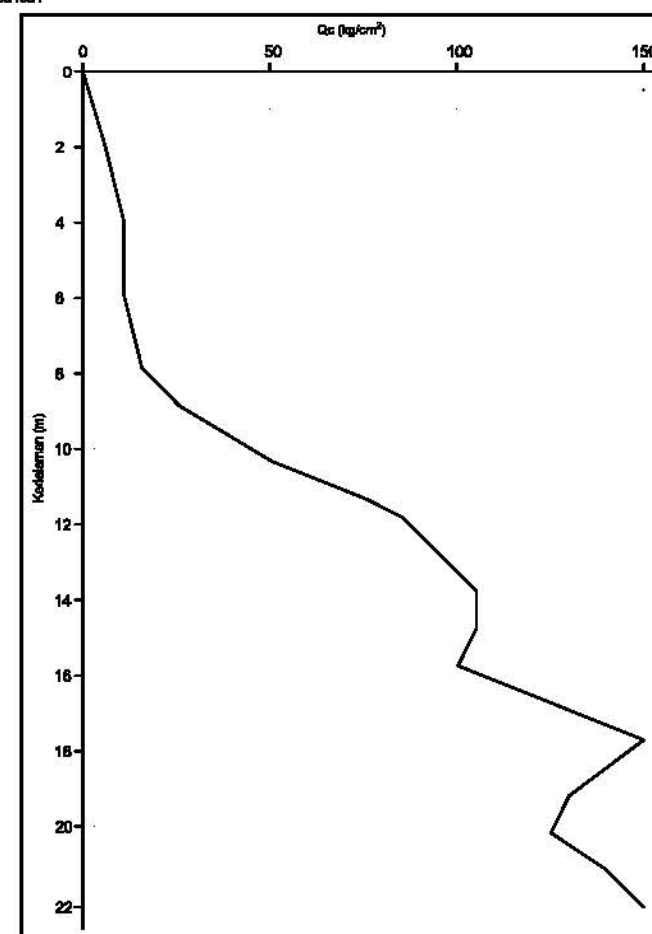
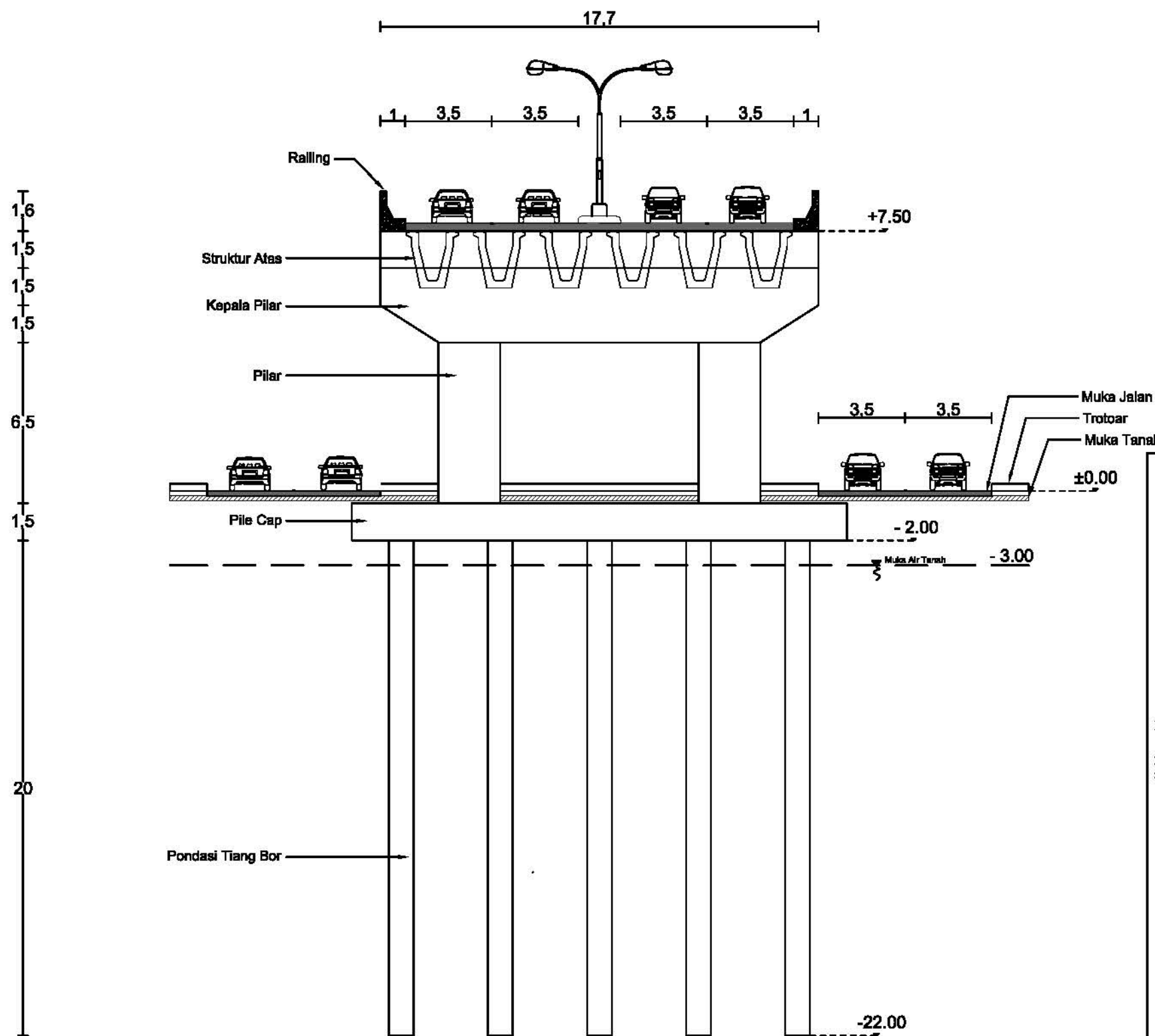
Dosen Penimbang :

I.K. Pranoto Dirhan Putra, ST.,MURP.

LAMPIRAN

HALAMAN :

97



Potongan A-A dan Grafik Daya Dukung Tanah



PROGRAM STUDI TEKNIK SIPIL
FAKULTAS TEKNIK
UNIVERSITAS ATMA JAYA
YOGYAKARTA

Judul Tugas Akhir :

PERANCANGAN STRUKTUR BAWAH PADA
FLY OVER SIMPANG BANDARA-TANJUNG
API-API

Judul Gambar :

POT B-B

Skala :

1 : 250

Dibuat Oleh :

Yoanes Mario Adianto
(140215692)

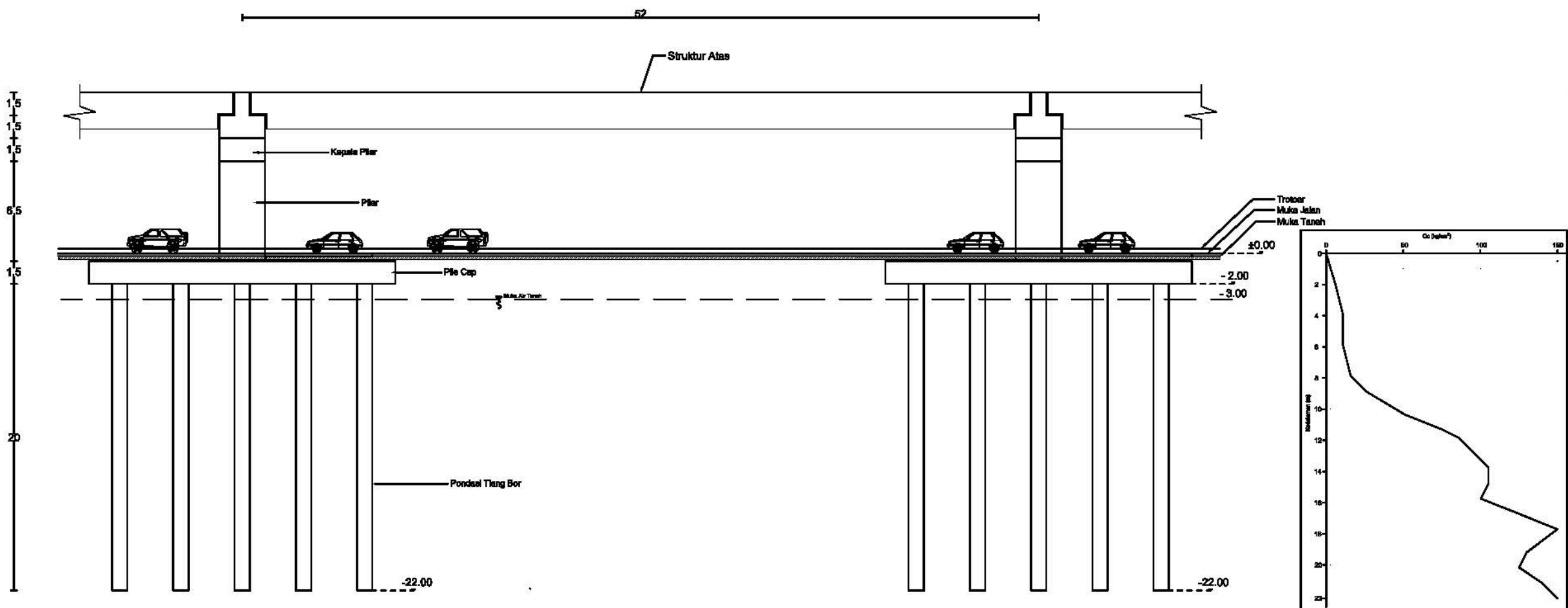
Dosen Pembimbing :

FX. Pranoto Dirham Putra, ST.,MURP.

LAMPIRAN

HALAMAN :

98



Potongan B-B dan Grafik Daya Dukung Tanah



PROGRAM STUDI TEKNIK SIPIL
FAKULTAS TEKNIK
UNIVERSITAS ATMA JAYA
YOGYAKARTA

Judul Tugas Akhir :

PERANCANGAN STRUKTUR BAWAH PADA
FLY OVER SIMPANG BANDARA-TANJUNG
API-API

Judul Gambar :

Detail Kepala Pilar

Skala :

1 : 75

Dibuat Oleh :

Yoanes Mario Adianto
(140215692)

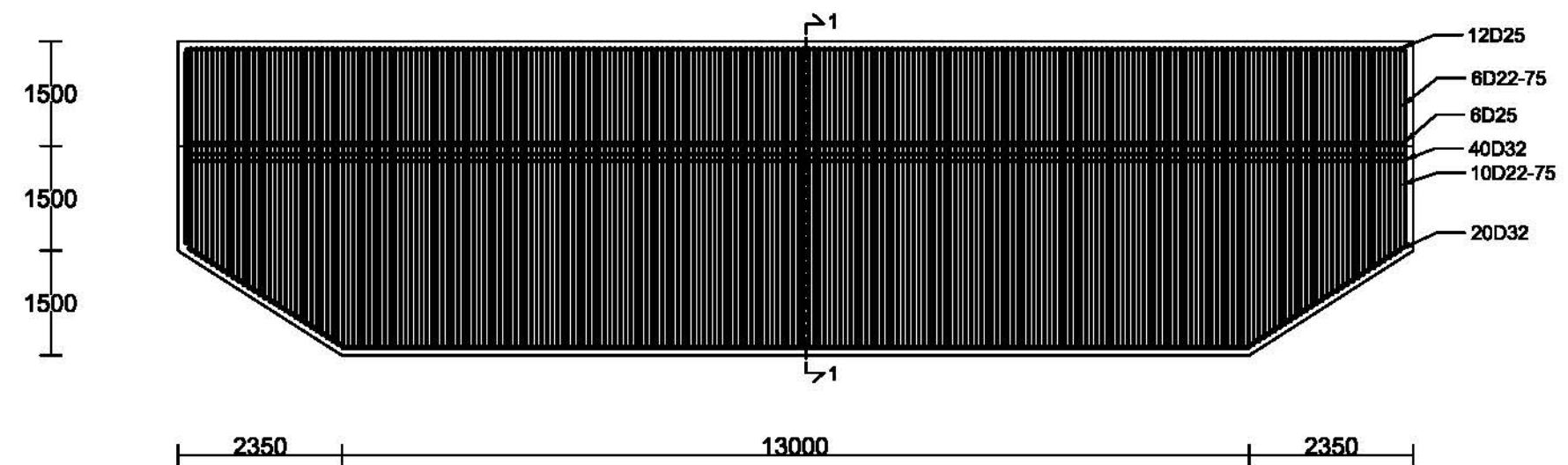
Dosen Pembimbing :

FX. Pranoto Dirham Putra, ST.,MURP.

LAMPIRAN

HALAMAN :

99



Detail Kepala Pilar



PROGRAM STUDI TEKNIK SIPIL
FAKULTAS TEKNIK
UNIVERSITAS ATMA JAYA
YOGYAKARTA

Judul Tugas Akhir :

PERANCANGAN STRUKTUR BAWAH PADA
FLY OVER SIMPANG BANDARA-TANJUNG
API-API

Judul Gambar :

Detail Pilar

Skala :

1 : 50

Dibuat Oleh :

Yoanes Mario Adianto
(140215692)

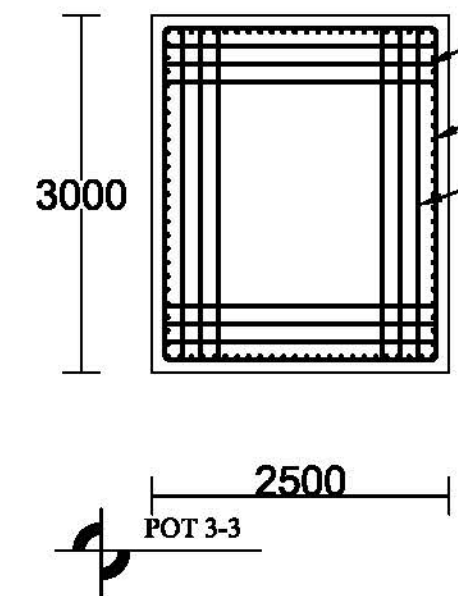
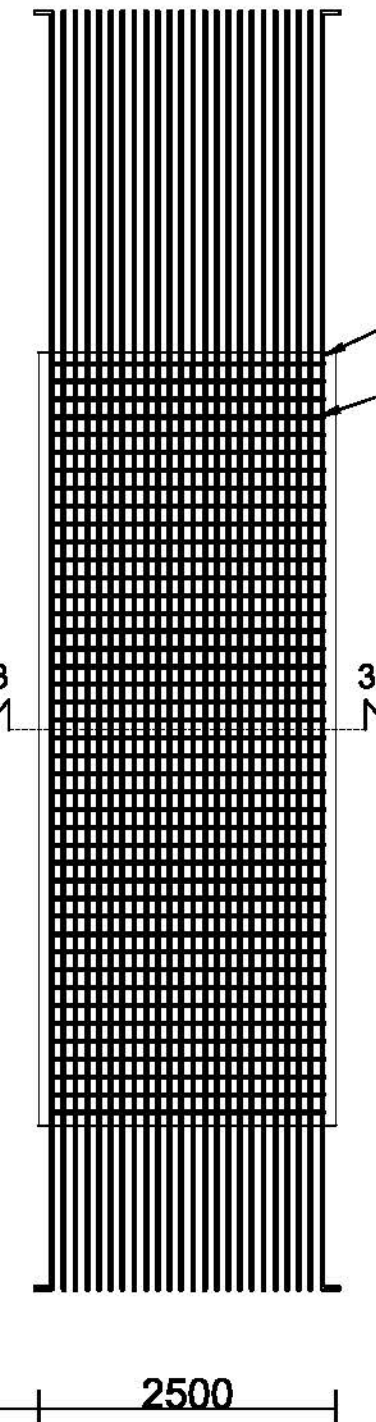
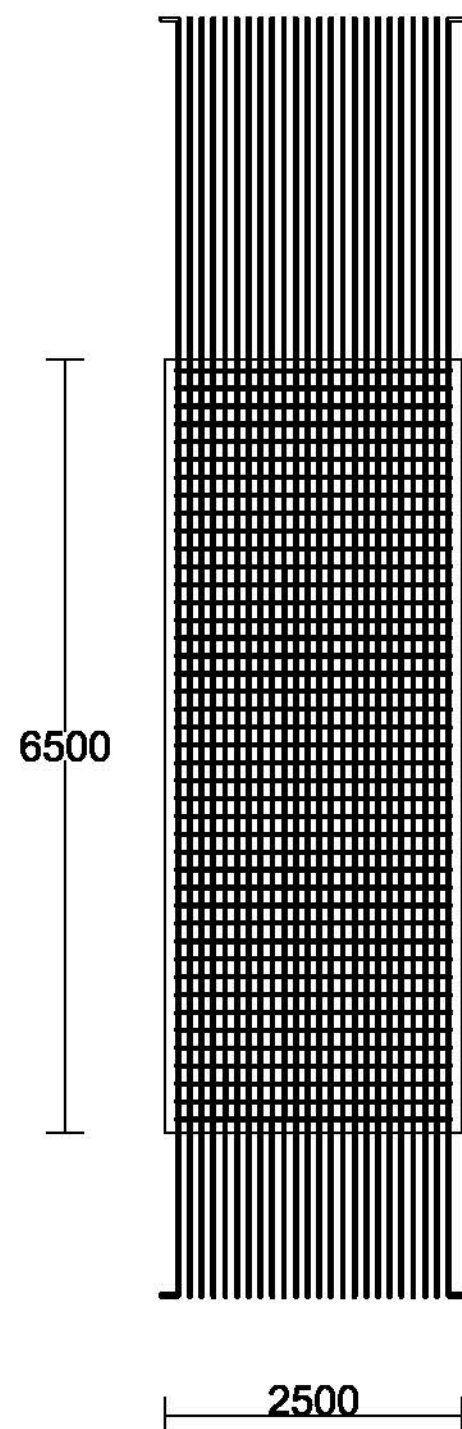
Dosen Pembimbing :

FX. Pranoto Dirham Putra, ST.,MURP.

LAMPIRAN

HALAMAN :

100



Detail Pilar



PROGRAM STUDI TEKNIK SIPIL
FAKULTAS TEKNIK
UNIVERSITAS ATMA JAYA
YOGYAKARTA

Judul Tugas Akhir :

PERANCANGAN STRUKTUR BAWAH PADA
FLY OVER SIMPANG BANDARA-TANJUNG
API-API

Judul Gambar :

Detail Pile Cap

Skala :

1 : 60

Dibuat Oleh :

Yoanes Mario Adianto
(140215692)

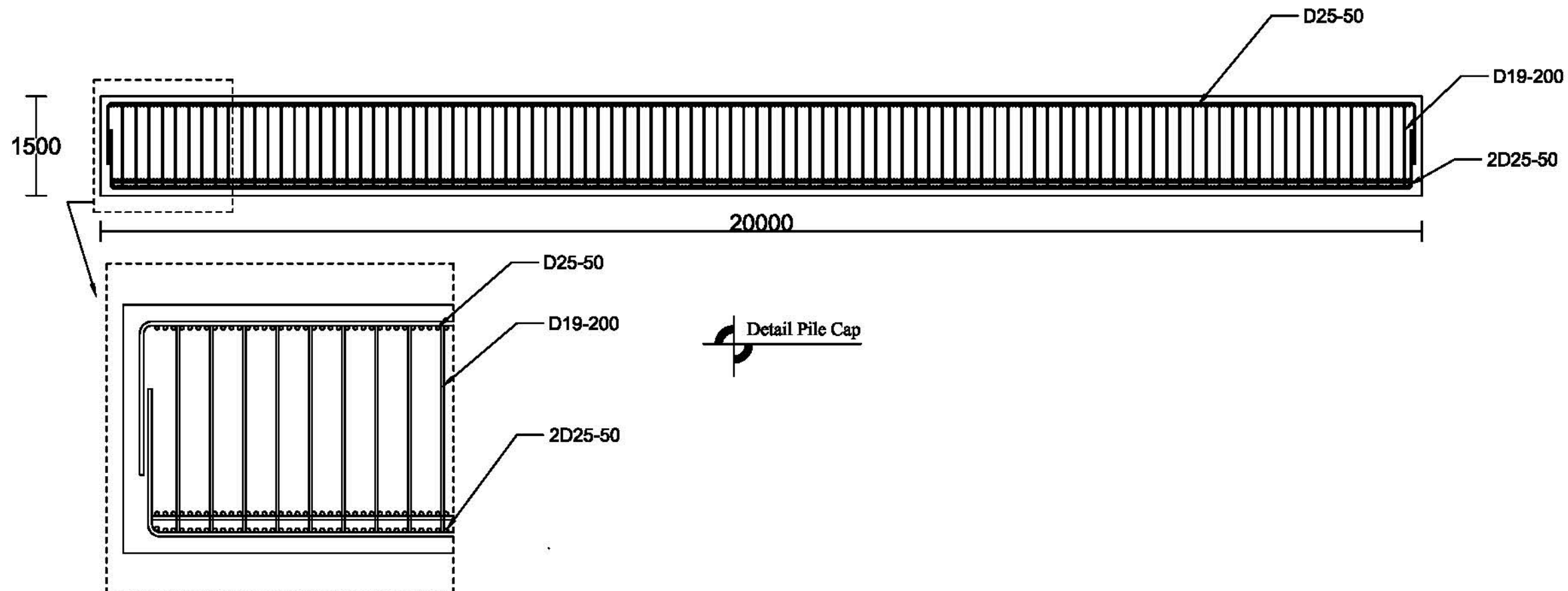
Dosen Pembimbing :

FX. Pranoto Dirham Putra, ST.,MURP.

LAMPIRAN

HALAMAN :

101





PROGRAM STUDI TEKNIK SIPIL
FAKULTAS TEKNIK
UNIVERSITAS ATMA JAYA
YOGYAKARTA

Judul Tugas Akhir :

PERANCANGAN STRUKTUR BAWAH PADA
FLY OVER SIMPANG BANDARA-TANJUNG
API-API

Judul Gambar :

Denah dan Detail Bore Pile

Skala :

1 : 115

Dibuat Oleh :

Yoanes Mario Adianto
(140215692)

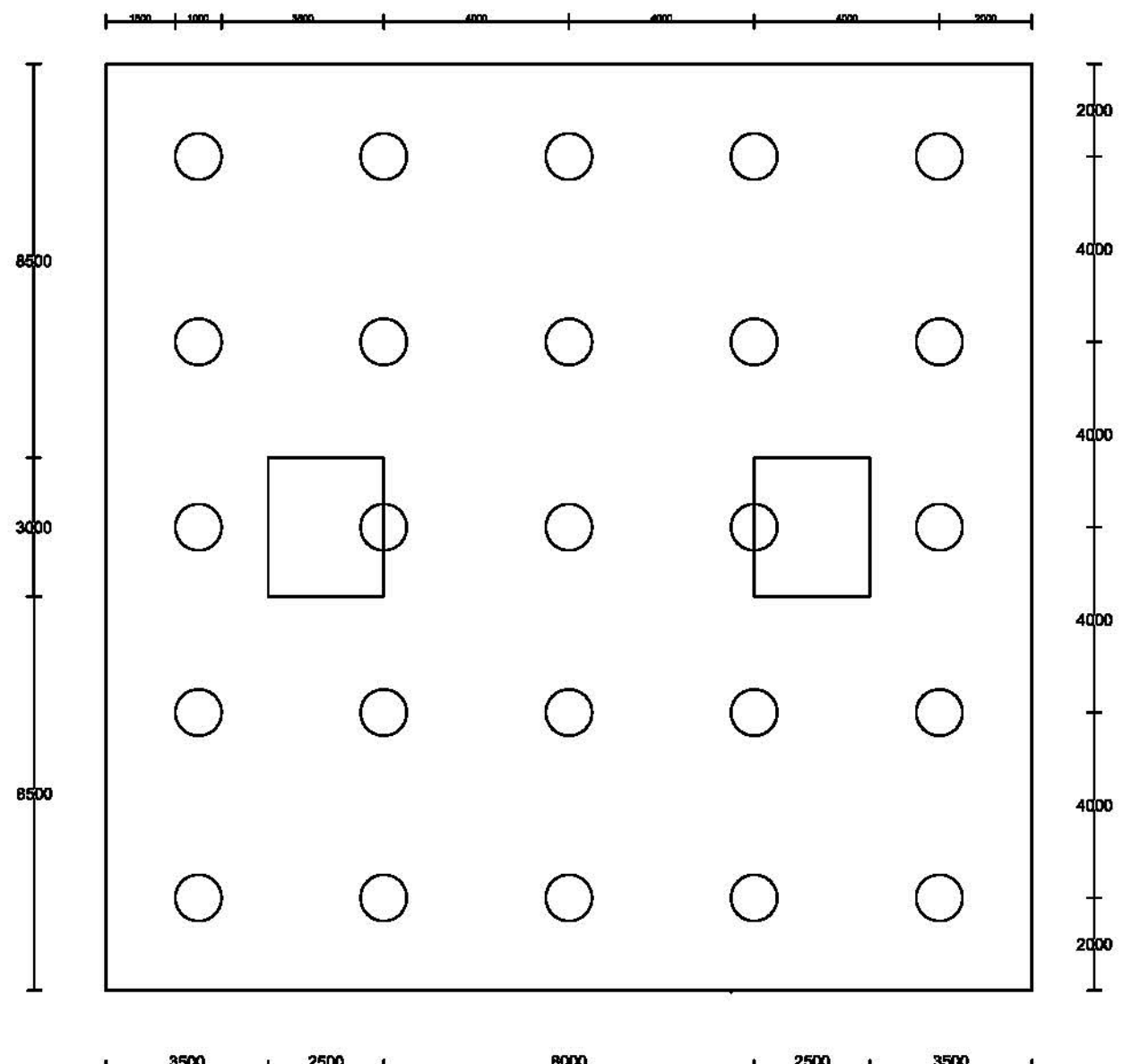
Dosen Pembimbing :

FX. Pranoto Dirham Putra, ST.,MURP.

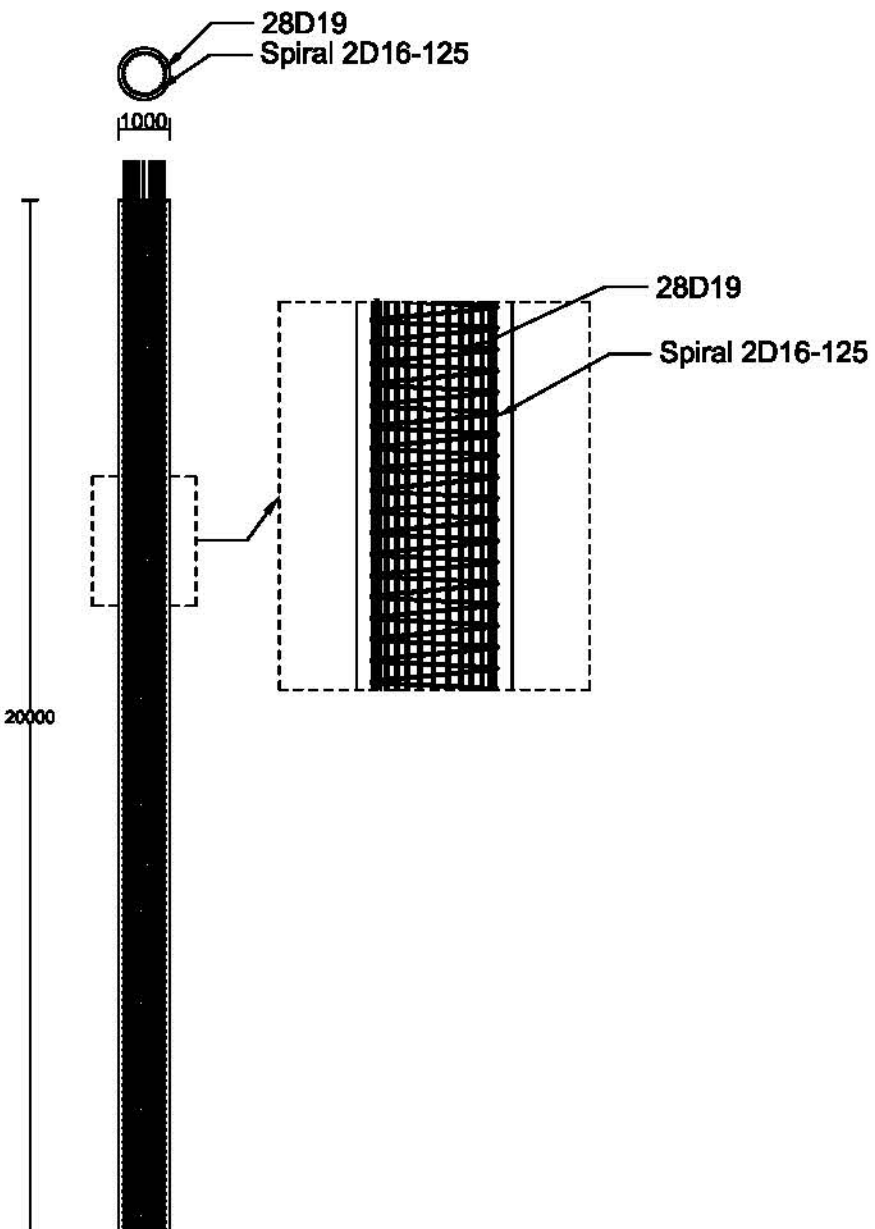
LAMPIRAN

HALAMAN :

102



Denah Bore Pile



Detail Bore Pile



PROGRAM STUDI TEKNIK SIPIL
FAKULTAS TEKNIK
UNIVERSITAS ATMA JAYA
YOGYAKARTA

Judul Tugas Akhir :

**PERANCANGAN STRUKTUR BAWAH PADA
FLY OVER SIMPANG BANDARA-TANJUNG
API-API**

Judul Gambar :

Detail Gabungan Struktur Bawah

Skala:

1 : 110

Dibuat Oleh :

Yanees Mario Adianto
(140215692)

Dosen Pembimbing :

FX. Pramono Dirham Putra, ST., MURP.

LAMPTRAN

HALAMAN :

103

Detail Gabungan Struktur Bawah

